

577.37

ДЕЙСТВИЕ МИКРОВОЛН НА ЖИВЫЕ ОРГАНИЗМЫ И БИОЛОГИЧЕСКИЕ СТРУКТУРЫ

A. C. Пресман

Биологическое действие радиочастотных электромагнитных полей изучается на протяжении почти сорока лет. За это время, в соответствии с развитием радиотехники, в круг исследований включались все более и более высокие частоты. Особенно широкий размах получили исследования биологического действия микроволн *). Примерно за 20 лет, прошедших со времени технического освоения этого диапазона, опубликовано уже более 1000 работ по вопросам: электрических свойств живых тканей в микроволновом диапазоне, поглощения и преобразования энергии микроволн в тканях, действия этих волн на живые организмы и биологические структуры и выявления механизма этого действия, применения микроволн в физиотерапии, изучения вредного действия микроволн и, наконец, применения микроволн в биологических исследованиях.

Установлено, что микроволны оказывают влияние на живые организмы самой различной степени организации — от простейших до высоко-развитых, что это влияние имеет место даже при весьма небольших интенсивностях облучения и характеризуется разнообразными эффектами — от реакций целого организма до изменений на молекулярном уровне. Имеются основания полагать, что микроволны принимают участие и в некоторых биологических процессах.

Биологи и медики все более широко привлекают физиков и инженеров к исследованиям биологического действия микроволн. Особенно заметны такие тенденции в последние годы, когда накопленные уже экспериментальные материалы позволили перейти к исследованиям биофизико-химических механизмов этого действия. Вместе с тем физики и радиоинженеры нашли в этих исследованиях и самостоятельный интерес — возможность изучения некоторых специфических биологических явлений, а также отправные данные для физического моделирования некоторых биологических систем и процессов.

Изложенное дает основание считать, что назрела необходимость ознакомить физиков с экспериментальными и теоретическими работами по изучению биологического действия микроволн, так как до сего времени соответствующие обзоры публиковались главным образом в биологических и медицинских журналах¹⁻¹¹, а из статей, появившихся в радиотехнической периодике¹²⁻¹⁶, далеко не все отличаются достаточной полнотой изложения.

В данной статье мы рассмотрим такие экспериментальные и теоретические исследования, которые, на наш взгляд, представляют наибольший

*) В биологической и медицинской литературе под микроволнами подразумевают широкий диапазон частот — от 100 *Mгц* до 100 *Ггц*.

интерес для физиков, и постараемся сделать это в форме, доступной для неспециалистов в биологии и медицине.

Так как исследования биологического действия микроволн в значительной степени связаны с соответствующими исследованиями в других участках спектра радиочастот (а в последнее время даже низкочастотного и инфразвукового диапазонов), то нам придется иногда выходить за рамки, ограниченные названием статьи.

1. ЭЛЕКТРИЧЕСКИЕ СВОЙСТВА ТКАНЕЙ В МИКРОВОЛНОВОМ ДИАПАЗОНЕ

Исследованиям электрических свойств тканей и суспензий клеток в микроволновом диапазоне посвящено значительное число работ и в том числе несколько специальных обзорных статей¹⁷⁻¹⁹.

Еще в ранних исследованиях было установлено^{6, 18}, что при частотах ниже десятков мегагерц диэлектрическая проницаемость и удельное сопротивление тканей определяются главным образом клеточными мембранными, действующими как тонкие слои с высокими емкостью и сопротивлением. Частотной зависимостью импеданца клеточных мембран и обусловливается наблюдаемое уменьшение импеданца тканей по мере возрастания частоты.

В микроволновом диапазоне (выше 100 $M\text{гц}$) клеточные мембранны становятся практически короткозамкнутыми. Поэтому электрические свойства суспензий клеток и тканей с высоким содержанием воды определяются водным, солевым и протеиновым содержанием внутри- и межклеточной среды. Электрические свойства жировых тканей определяются параметрами жировых клеток и окружающей их электролитической среды.

Комплексная диэлектрическая проницаемость тканей животных и человека измерялась, как правило, на свежевырезанных образцах при температуре 37°С (в некоторых измерениях — при 27°С), при помощи известных в радиотехнике волноводных и резонансных методов, модифицированных с учетом высоких значений диэлектрической проницаемости и тангенса угла потерь в живых тканях²⁰⁻²³. Для измерений в диапазоне 100—1000 $M\text{гц}$ применялась двухпроводная линия²⁴⁻²⁶, в диапазоне 1—3 Гц — коаксиальная линия^{27, 28} и при более высоких частотах — волноводная линия²⁹⁻³¹. Измерения с жидкими субстанциями проводились теми же методами и, кроме того, с использованием коаксиальных и волноводных мостов³². Резонансные методы с помещением образца в коаксиальный или объемный резонатор применялись только для малых образцов биологических материалов^{33, 34}.

По величинам комплексной диэлектрической проницаемости $\epsilon^* = \epsilon' + j\epsilon''$ и характеру ее дисперсии в микроволновом диапазоне ткани живых организмов можно разделить^{5, 6, 18} на три группы в соответствии с содержанием в них воды: жидкие ткани (кровь, лимфа), ткани с высоким содержанием воды (мышцы, кожа, печень и т. п.) и ткани с малым содержанием воды (жир, кости).

В табл. I, составленной по данным разных авторов^{5, 6, 18, 28-31, 35}, приведены значения ϵ' и ϵ'' для типичных тканей человека при разных частотах. Приведены также соответствующие данные для воды^{5, 25, 36}. Близкие значения рассматриваемых величин найдены и для соответствующих тканей животных²⁷ (см. табл. I).

Представленные в таблице данные показывают, что ткани с большим содержанием воды обладают высокими значениями диэлектрической проницаемости, а ткани с малым содержанием воды — низкими. Значения

Таблица I

Комплексная диэлектрическая проницаемость тканей человека
в микроволновом диапазоне при температуре 37° С

Вид ткани	Частота, Мгц							
	100	400	1000	3000	4600	8500	9400	24 000
ϵ' — диэлектрическая проницаемость								
Мышцы	73,5	53,0	50,5	46,5	47,3	41,0	—	—
Кожа	—	—	—	43,5	—	35,5	—	23,0
Печень	77,5	46,0	46,5	42,5	—	36,0	—	—
Жир	—	5,5	6,4	6,5	5,85	4,0	4,5	3,4
Костный мозг	—	—	5,8	5,0	—	4,9	—	—
Кости	—	—	—	8,35	7,83	—	7,6	6,3
Цельная кровь	—	61,5	62,5	53,0	—	—	45,0	32,0
Вода	74,4	74,5	—	74,4	71,5	—	65,3	41,6
ϵ'' — коэффициент потерь								
Мышцы	—	51,5	23,4	18,0	18,6	17,6	—	—
Кожа	—	—	—	16,5	14,0	—	16,0	13,0
Печень	107,0	39,0	17,6	12,2	—	13,3	—	—
Жир	—	3,7	2,08	1,6	1,17	0,66	0,95	1,1
Костный мозг	—	—	1,27	1,05	—	0,68	—	—
Кости	—	—	—	1,32	1,3	—	1,45	1,1
Цельная кровь	—	58,5	28,0	15,0	—	—	23,0	20,0
Вода	0,3	0,95	—	8,2	12,8	—	22,3	34,5

Примечания. 1. Значения ϵ'' при частотах 100—3000 Мгц получены путем пересчета соответствующих данных для удельной электропроводности.

2. Значения ϵ' и ϵ'' для крови получены путем пересчета соответствующих данных для температуры 27° С (с помощью температурных коэффициентов).

3. Значения ϵ' и ϵ'' для воды получены путем пересчета соответствующих данных для температур 20 и 25° С.

диэлектрической проницаемости крови оказываются примерно на 30% ниже соответствующих значений для воды (или физиологического раствора). Это различие относят^{25,26} за счет присутствия в крови протеиновых молекул (главным образом гемоглобина), которые представляют как бы «диэлектрические полости» с низкой диэлектрической проницаемостью (20—25 и ниже) в электролитической среде с высокой диэлектрической проницаемостью.

Данные таблицы иллюстрируют частотную зависимость — дисперсию комплексной диэлектрической проницаемости в микроволновом

диапазоне. Теоретический анализ характера дисперсии для тканей с большим содержанием воды проводился^{37, 38} на основе рассмотрения данных для крови, структура которой хорошо известна, а полученные на ней результаты легко сравнивать с соответствующими данными для воды. На рис. 1 представлены кривые дисперсии диэлектрической проницаемости и удельного сопротивления крови⁶.

В ряде работ^{25, 36, 28, 39} было показано, что при частотах ниже 100 Мгц ход дисперсии для крови удовлетворительно аппроксимируется уравнениями Дебая — Данцера⁴⁰, выведенными на основе теории Максвелла — Вагнера для сферических частиц, суспензированных в среде с иными значениями комплексной диэлектрической проницаемости:

$$\epsilon' = \epsilon'_\infty - \frac{\epsilon'_0 - \epsilon'_\infty}{1 + (\omega T)^2}, \quad \kappa = \kappa_0 + \frac{\kappa_\infty - \kappa_0}{1 + (\omega T)^2} (\omega T)^2, \quad (1)$$

где

$$\begin{aligned} T &= R C_m \frac{\kappa_i + 2\kappa_a}{2\kappa_i \kappa_a + R G_m (\kappa_i - 2\kappa_a)}, \\ \epsilon'_0 &= \frac{9}{4\epsilon_r} \frac{p R C_m}{1 + R G_m \left(\frac{1}{\kappa_i} + \frac{1}{2\kappa_a} \right)^{-1/2}}, \\ \kappa_\infty &= \kappa_a \left(1 + 3p \frac{\kappa_i - \kappa_a}{\kappa_i + 2\kappa_a} \right), \\ \kappa_0 &= \kappa_a \left[1 - \frac{3}{2} p \frac{1 - R G_m \left(\frac{1}{\kappa_i} - \frac{1}{\kappa_a} \right)}{1 + R G_m \left(\frac{1}{\kappa_i} + \frac{1}{2\kappa_a} \right)} \right], \end{aligned} \quad (2)$$

ϵ' — диэлектрическая проницаемость, κ — удельная проводимость ($\text{ом}^{-1}/\text{см}$), T — постоянная времени релаксации, R — радиус частиц крови (см), p — доля объема, занимаемая частицами, C_m и G_m — емкость и проводимость мембраны на 1 см², $\epsilon_r = 8,85 \cdot 10^{-14}$ ф/см.

Индексы 0 и ∞ относятся соответственно к нулевому и бесконечно высокому значениям частоты, индексы i и a — к частицам и окружающей их среде.

Трудно было объяснить медленное изменение ϵ^* в диапазоне 100—1000 Мгц. При этих частотах влияние клеточных мембран уже не сказывается, а полярные свойства молекул воды еще не проявляются. Нельзя ожидать при таких частотах и релаксационной поляризации протеиновых молекул, частота релаксации которых около 10 Мгц. Было предположено²⁵, однако, что отдельные части протеиновых молекул обладают степенями свободы вращения, и частоты релаксации этих частей конечно выше, чем у молекулы в целом. Для экспериментальной проверки этой гипотезы были проведены измерения на молекулярных соединениях, сравнимых по размеру и свойствам с полярными группами в молекуле гемоглобина. Для некоторых аминокислот и пептидов был обнаружен спектр частот релаксации от 400 до 3000 Мгц. Другое интересное предположение²⁶ состоит в том, что молекулы воды, гидратирующие молекулу гемоглобина, с диэлектрической точки зрения находятся между льдом и свободной водой, обладая частотами релаксации в диапазоне 300—500 Мгц. При таких условиях в диапазоне 100—900 Мгц ϵ' «связанной» воды должна диспергировать в пределах 78—5, что могло бы объяснить дисперсию ϵ' крови в этом диапазоне.

Характер дисперсии при частотах выше 1 Ггц удовлетворительно объясняется полярными свойствами молекул воды. Кривые дисперсии ϵ' и ϵ'' достаточно хорошо аппроксимируются приведенными уравнениями

Дебая (1) для одного времени релаксации, если в выражение для ϵ'' ввести дополнительный член, учитывающий ионную проводимость^{28, 33}:

$$\epsilon'' = \frac{\epsilon_0 - \epsilon_\infty}{1 + (\omega T)^2} \omega T + 1,3 \cdot 10^{13} \frac{\sigma}{\omega}, \quad (3)$$

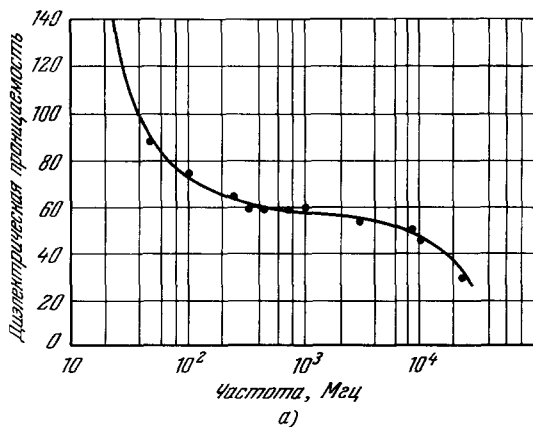
где σ — ионная проводимость, предполагаемая независимой от частоты.

Характер дисперсии ϵ'' жировых тканей обусловливается структурой последних. Установлено²⁸, что диэлектрические параметры чисто жировых тканей практически частотно независимы в микроволновом диапазоне, в то время как у тканей, состоящих из жировых клеток, окруженных электролитической средой, наблюдается дисперсия. Характер дисперсии параметров костных тканей найден²⁸ удовлетворяющим уравнениям Дебая со временем релаксации $0,7 \cdot 10^{-11}$ сек и поправкой на ионную электропроводность.

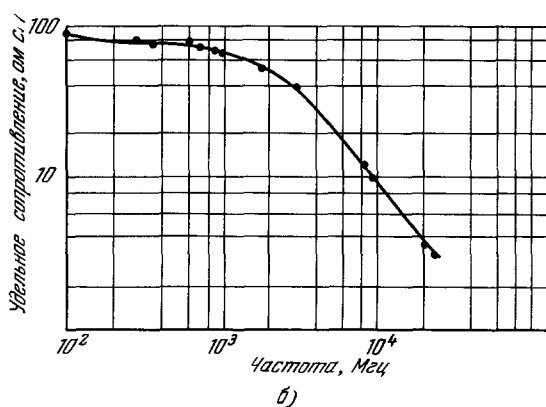
2. ПОГЛОЩЕНИЕ МИКРОВОЛН В ТКАНЯХ ЖИВЫХ ОРГАНИЗМОВ

Исходя из электрических свойств тканей, поглощение в них энергии микроволны связывают^{1, 5, 6, 29, 30} с двумя основными процессами: потерями энергии за счет ионной проводимости и диэлектрическими потерями за счет релаксационной поляризации молекул воды. С возрастанием частоты все более значительная доля поглощающейся энергии обуславливается диэлектрическими потерями: в 10-см диапазоне — 50%, в 3-см — 90%, в 1-см — 98%^{29, 30}.

Как известно, такое поглощение энергии микроволны связано с преобразованием ее в тепловую. На этом основании многие исследователи считали нагрев тканей единственной причиной биологического действия микроволн. Утверждали¹⁹, что действие микроволн короче 10 см практически не отличается от действия инфракрасных лучей. Между тем такое отождествление представляется необоснованным³ уже в силу различия процессов преобразования этих двух видов лучистой энергии в тепловую. В самом деле, при инфракрасном облучении нагрев тканей происходит за счет увеличения кинетической энергии беспорядочного движения молекул, а при микроволновом — за счет упорядоченного, когерентного колебания ионов и молекул воды с частотой микроволн



a)



б)

Рис. 1. Дисперсия диэлектрической проницаемости (a) и удельного сопротивления (б) крови в диапазоне радиочастот.

(точнее с близкой к ней частотой). Если учесть, что в биологических структурах большую роль играют мембранные с поверхностными ориентированными слоями гидратированных белковых молекул, то существенное различие биологических эффектов при этих двух процессах станет очевидным. Как будет показано ниже, это соображение подтвердилось в экспериментах (которые будут описаны в гл. 6), показавших, что при одинаковом нагреве живых тканей инфракрасными лучами и микроволнами 1-см диапазона биологические эффекты отмечаются только в последнем случае.

Обсуждалась возможность поглощения микроволн, связанного с внутримолекулярными процессами в белковых молекулах. Так, например, предполагали⁴¹, что поглощение энергии микроволн может быть связано с вращением внутримолекулярных структур относительно С — С-связей, с трансляционными переходами гидроксильных групп из одного положения с водородной связью в другое, с вращательными уровнями энергии в метастабильных состояниях и т. д. Рассматривалась также возможность ионизационных эффектов микроволн с формированием радикалов О₂ и OH при высоких импульсных мощностях⁴². Однако эти предположения не получили пока экспериментального подтверждения.

Более убедительны теоретические и экспериментальные данные о резонансном поглощении микроволн биоструктурами. Такое поглощение впервые было обнаружено⁴³⁻⁴⁵ при измерении комплексной диэлектрической проницаемости метилпальмитата (C₁₅H₃₁COOH₃) в диапазоне частот от 50 Гц до 30 ГГц. Наблюдался максимум tg δ и плато кривой ε' при частоте 4 ГГц. В пользу резонансного характера этого эффекта свидетельствовала независимость этой частоты от температуры. Однако максимумы tg δ понижались при уменьшении температуры, что противоречило чисто резонансному эффекту. Авторы пришли к заключению, что наблюдаемое поглощение следует рассматривать как комбинацию резонансного и релаксационно-поляризационного.

Недавно была высказана интересная гипотеза о возможности резонансного поглощения микроволн и УКВ белковыми молекулами^{46, 47}. Возможность поглощения микроволн молекулами ферментов связывают с диполь-дипольными взаимодействиями, возникающими благодаря флуктуациям распределения протонов в молекуле. При среднем расстоянии между боковыми группами молекулы около 9,5 Å диполь-дипольный переход соответствует энергии кванта 3-см волн. С увеличением расстояния между группами возрастает длина волны, соответствующая энергии взаимодействия. Автор предположил⁴⁶, что влияние микроволн на протонное распределение в молекуле фермента может привести к изменению активности реакции фермент-субстратного комплекса. Для проверки этого предположения были проведены эксперименты по облучению раствора, содержащего такой комплекс, микроволнами со свиширующей частотой в пределах 8,2—12,4 ГГц. Облучение в течение 1 мин привело к изменению оптической плотности раствора.

Характер поглощения и распределения энергии микроволн в тканях тела животных и человека определяется степенью отражения от поверхности тела, анатомическим расположением слоев тканей и размерами тела относительно длины волны.

Коэффициент отражения Q вычислялся^{6, 48-50} по известной формуле для плоской волны, падающей из воздуха на плоскую поверхность со значением ε* для кожи и μ = 1 (что справедливо для тканей животных)

$$Q = \left(\frac{\sqrt{\epsilon^*} - 1}{\sqrt{\epsilon^*} + 1} \right)^2. \quad (4)$$

На рис. 2 показано изменение величины коэффициента отражения в зависимости от частоты, обусловленное соответствующим изменением ϵ^* кожи. В этом расчете не учитывается, однако, тот факт, что между слоем кожи и мышечными тканями, имеющими примерно одинаковое значение ϵ' , находится слой подкожной жировой ткани, обладающий значительно меньшей величиной ϵ' . Теоретический анализ показал⁵¹⁻⁵³, что слой подкожного жира может играть роль своеобразного трансформатора импеданцев между воздушным пространством и мышечной тканью. Поэтому доля облучающей энергии, поглощаемая тканями тела, может

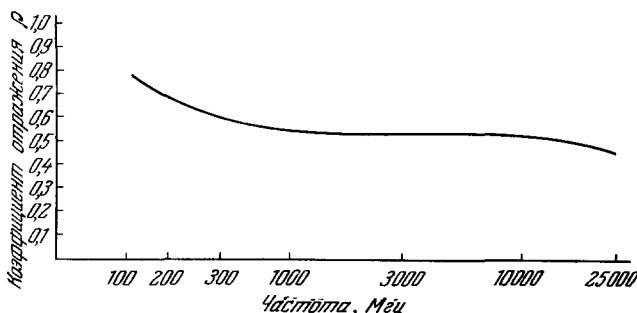


Рис. 2. Частотная зависимость коэффициента отражения радиоволн от поверхности тела человека.

варьировать в широких пределах от 20 до 100% в зависимости от длины волны и толщин слоев кожи и жира. На рис. 3 показаны такие вариации.

Глубина проникновения микроволн в ткани (уменьшение в e раз) вычислялась из уравнения распространения электромагнитных волн

Таблица II

Глубина проникновения энергии микроволн в различные ткани животных, см

Частота, МГц	100	200	400	1000	3000	10 000	24 500	35 000
Вид ткани								
Костный мозг . . .	22,9	20,66	18,73	11,9	9,924	0,34	0,145	0,0730
Головной мозг . . .	4,132	3,56	2,072	1,933	0,476	0,168	0,075	0,0378
Хрусталик глаза	9,42	4,39	4,23	2,915	0,500	0,174	0,0706	0,0378
Стекловидное тело	2,17	1,69	1,41	1,23	0,535	0,195	0,045	0,03145
Жир	20,45	12,53	8,52	6,42	2,45	1,1	0,342	—
Мышцы	3,454	2,32	1,84	1,456	—	0,134	—	—
Цельная кровь . . .	2,86	2,15	1,787	1,40	0,78	0,148	0,0598	0,0272
Кожа	3,765	2,78	2,18	1,638	0,646	0,189	0,0722	—

в диэлектрической среде с потерями^{6, 50}. В табл. II представлены величины, вычисленные для разных тканей при различных частотах.

Для выяснения зависимости поглощения микроволн в тканях тела животного от линейных размеров последнего было проведено теорети-

ческое исследование поглощения энергии плоской волны в полупроводящей сфере⁵⁴. В качестве меры поглощения было выбрано «относительное поглощающее сечение» S , представляющее отношение мощности, поглощаемой в сфере (ϵ_1, μ_1) радиуса a , к мощности, падающей на попе-

речное сечение сферы при распространении плоской волны в воздухе (ϵ_2, μ_2):

$$S = \frac{W_a}{P_d \pi a^2}, \quad (5)$$

где $W_a = W_t - W_s$ — мощность, поглощаемая в сфере, W_t — мощность, получаемая сферой из плоской волны (частично поглощаемая, частично рассеиваемая), W_s — мощность, рассеиваемая на сфере,

$$P_d = \frac{E_0^2}{2 \pi \epsilon_2 \mu_2} = \frac{E_0^2}{754} \text{ вт/см}^2$$

— плотность потока мощности.

Расчеты (проведенные на вычислительной машине типа «Юнивак») величины S как функции $a = \frac{2\pi a}{\lambda}$ показали:

а) При $a < \lambda$ ($a < 2,4$) S испытывает колебания с амплитудой, значительно превышающей единицу (рис. 4), т. е. при малых размерах

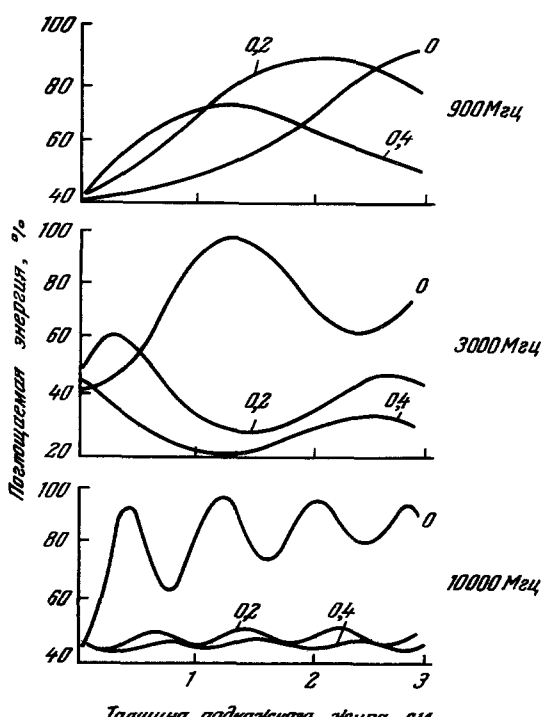
Рис. 3. Зависимость поглощения энергии микроволны разных частот тканями тела животных от толщины подкожного жирового слоя при различных толщинах кожи (цифры над кривыми).

объекта по сравнению с λ в нем может поглощаться больше мощности, чем падает на его попечное сечение.

б) С увеличением a S плавно уменьшается, достигая при $a = 6$ постоянного значения $S = 0,5 \pm 0,1$ (см. рис. 4) независимо от величин σ_1 и a . Таким образом, при достаточно больших размерах объекта по сравнению с длиной волны в нем будет поглощаться около 50% энергии независимо от формы объекта, его электропроводности σ_1 и длины волны. Эти закономерности были подтверждены в исследованиях на моделях⁵⁵.

Значительное число исследований было посвящено выяснению зависимости теплообразования в тканях от интенсивности и времени облучения, определению характера распределения температуры в тканях облучаемого участка^{1, 2}. Однако результаты большинства таких исследований были противоречивыми: в одних случаях отмечался более значительный нагрев в глубоких тканях по сравнению с поверхностными, в других — противоположное распределение температуры, в третьих — наличие как положительного, так и отрицательного градиента температуры в зависимости от условий облучения. Основными причинами этих расхождений считают^{2, 56} несовершенство дозирования поглощаемой мощности и несопоставимость ряда условий экспериментов.

Более определенные результаты были получены путем «контактного облучения»⁵⁶⁻⁵⁸. Облучаемый участок тела прижимали к рупорному окон-



чанию волноводного тракта, обеспечивая согласование этой нагрузки с волновым сопротивлением волновода. Температура кожи в центре

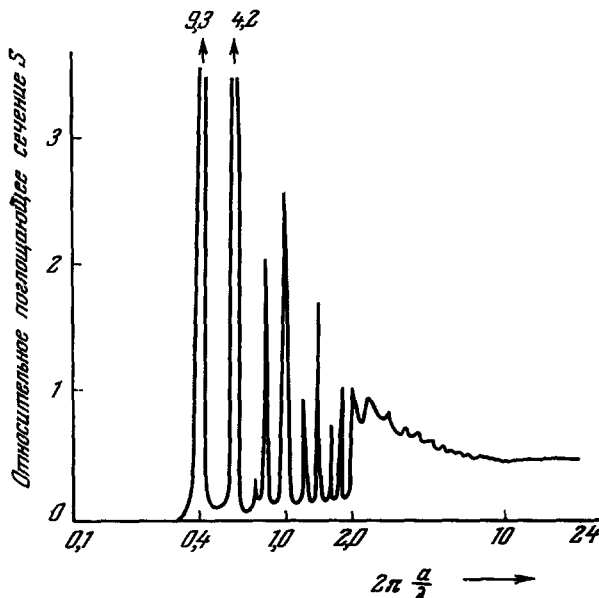


Рис. 4. Поглощение энергии плоской волны ($\lambda = 10,4 \text{ см}$) в полупроводящей сфере ($\epsilon_1 = 60$, $\sigma_1 = M\text{ом}$) в зависимости от отношения радиуса сферы a к длине волны λ .

облучаемого участка измерялась в процессе облучения при помощи термопары, провода которой располагались перпендикулярно электрическим силовым линиям. В глубоких тканях температура измерялась термопарой в кончике иглы шприца через 30—60 сек после прекращения облучения. На рис. 5 приведены графики нагрева тканей в облучаемом участке бедра собаки. Меньший нагрев подкожного жирового слоя автор объяснял малым поглощением энергии, а выравнивание температуры между слоями по мере продолжения облучения — теплопроводностью тканей и отводом тепла благодаря увеличению кровотока.

Распределение нагрева между слоями кожи, подкожного жира и мышечных тканей зависит также от соотношения толщин этих слоев при данной частоте микроволнового облучения, что обусловливается эффектом согласования. На рис. 6

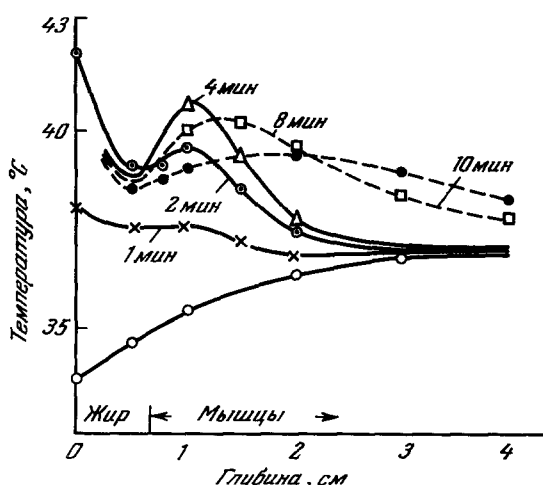


Рис. 5. Нагрев тканей на различной глубине от поверхности облучаемого микроволнами ($\lambda = 10 \text{ см}$) участка бедра собаки при разных продолжительностях облучения.

приведены графики теплообразования в слоях в зависимости от толщины подкожного жирового слоя и частоты ⁵³.

Предпринимались попытки вычислить количество тепла, выделяющегося на заданной глубине от облучаемой поверхности, и оценить возможное повышение температуры в зависимости от интенсивности

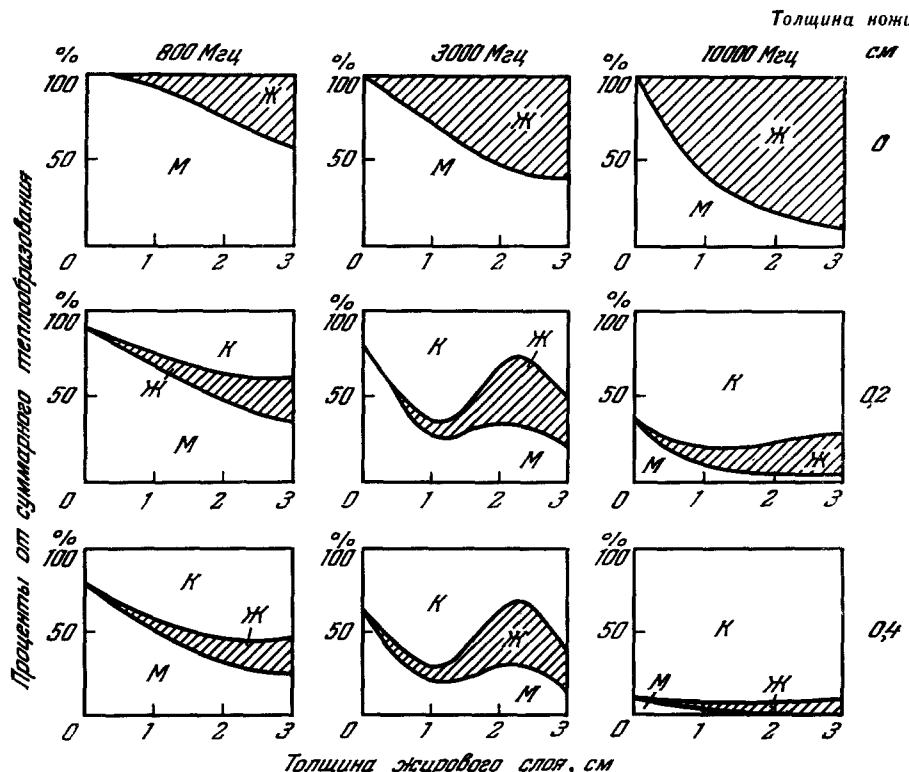


Рис. 6. Теплообразование в коже *K*, подкожном жировом слое *Ж* и мышцах *M* при облучении участков тела человека микроволнами разных частот в зависимости от толщины подкожного жирового слоя и толщины кожи в облучаемом участке.

облучения ⁵⁸⁻⁶⁰. Однако поскольку эти расчеты делались на основе довольно грубых допущений, полученные результаты приближались к экспериментальным только при непродолжительном облучении.

3. ДОЗИМЕТРИЯ МИКРОВОЛН ПРИ ОЦЕНКЕ ИХ ВОЗДЕЙСТВИЯ НА ЛЮДЕЙ И В ЭКСПЕРИМЕНТАХ С ЖИВОТНЫМИ

Для оценки интенсивности воздействия микроволн на людей, обслуживающих испытания и эксплуатацию генераторов, и при дозировке облучения животных в экспериментах предлагалось применять различные величины: интенсивность облучения (плотность потока мощности) ^{48, 61-63}, полную поглощаемую мощность ⁶³, дозу (поглощаемую энергию) ⁶³ и плотность электромагнитной энергии ⁶⁴. Представляется, однако, очевидным, что при выборе какой-либо из этих величин следует исходить из конкретной задачи исследования ⁶⁵.

При оценке условий облучения людей, находящихся в зоне излучения микроволн, а также при экспериментальном облучении животных, размеры тела которых по крайней мере сравнимы с длиной волны, целесообразно измерять интенсивность облучения (удобно выражать в $\text{мвт}/\text{см}^2$). Для суждения же о доле энергии, поглощаемой в поверхностных слоях тела, можно вычислять «действующую интенсивность»—разность между интенсивностями падающей и отраженной волн. Для измерения интен-

сивности облучения в производственных условиях, вблизи радиолокационных станций и в эксперименте разработан ряд приборов^{16, 61, 62, 66, 67}, представляющих собой измерители мощности (чаще всего термисторные) с соответствующей антенной.

При экспериментальном облучении малых животных встречается необходимость оценивать всю поглощаемую в их теле мощность. Такая оценка при частоте 350 Гц осуществлялась путем помещения кролика внутри волновода и измерения входной и выходной мощностей⁶⁸. Предлагались также методы облучения животных в объемных резонаторах^{69, 70}. Однако эти методы не нашли практического применения ввиду значительных технических трудностей.

Значительно легче добиться полного поглощения в облучаемом участке тела животного или человека при помощи упомянутого выше «контактного метода»^{55–57}, в котором непосредственно дозируется действующая интенсивность. С меньшей точностью этот метод применялся и для облучения малых животных, помещаемых под рупором (облучение со спины) или над рупором (облучение со стороны живота) при обеспечении соответствующего согласования с линией передачи^{49, 71}. Дозировка поглощаемой мощности применялась^{72–74} при облучении малых биологических объектов (препаратах тканей, белковых растворов, одноклеточных в водной среде и т. п.).

В физиотерапии чаще всего пользуются относительной дозировкой по выходной мощности генератора и расстоянию от облучателя (с полусферическими и углковыми отражателями) до облучаемой поверхности. Путем измерения температуры в различных местах облучаемого участка были получены диаграммы распределения интенсивности⁷⁵. Этот метод дозирования широко использовался и в экспериментальных исследованиях.

Делались попытки добиться полного поглощения подводимой к облучателю энергии в облучаемом участке тела пациента, помещая между облучателем и поверхностью тела согласующие пластины — «четвертьволновые трансформаторы»⁷⁶. В последнее время предложен контактный метод облучения при помощи керамического диэлектрического излучателя⁷⁷.

Для сравнения укажем, что условия воздействия сравнительно низкочастотных электромагнитных полей, когда объект находится в зоне индукции, оцениваются путем раздельного измерения напряженностей электрической и магнитной составляющих^{70, 78}.

4. РЕАКЦИИ ОРГАНИЗМА ЖИВОТНЫХ НА ОБЛУЧЕНИЕ МИКРОВОЛНАМИ СРЕДНИХ И БОЛЬШИХ ИНТЕНСИВНОСТЕЙ

Одной из выраженных реакций организма животного на общее облучение микроволнами средних и больших интенсивностей (десятки и сотни мвт/см²) является повышение температуры тела (обычно измеряется реактальная температура). Этот тепловой эффект микроволны, связанный с процессами терморегуляции и активной адаптации организма, может приводить как к обратимым, так и к необратимым изменениям в зависимости от условий облучения и от физиологического состояния облучаемого животного.

Исследования роли процессов терморегуляции в тепловом эффекте микроволны проводились⁷⁹ на основе известной закономерности, что при данной температуре тела регулирующая теплоотдача равна алгебраической сумме теплообразования за счет обменных процессов и тепlopотерь за счет излучения и при дыхании (у человека добавляются потери при потоотделении), как это показано на рис. 7, а. В интервале терморегуляции (между точками пересечения регулирующей кривой с осью абсцисс) преобладают тепlopотери, что ведет к восстановлению нормальной температуры. Если же нагрев выше, то теплообмен может стать положительным и температура тела возрастает вплоть до гибельной для животного. Эксперименты с микроволнами проводились в интервале терморегуляции при автоматическом поддержании заданной температуры у облучаемого животного. На рис. 7, б приведена регулирующая кривая, подобная приведенной на рис. 7, а. Максимально возможное поглощение микроволн (соответствующее максимуму тепlopотери) установлено при повышении температуры у крысы на 4,5°, у кролика на 3,5° и у собаки на 2,5°.

Серия исследований при длительных облучениях животных импульсными микроволнами больших интенсивностей (200 Гц и 2,8 Гц, 100 и 165 мвт/см²) вывела реакции, свидетельствующие о включении активных адаптационных процессов^{80–82}. Было установлено, что по мере облучения наблюдаются три последовательные фазы изменения температуры: начальное повышение, равновесное состояние и быстрый подъем до критических значений (41–42°C), приводящий к гибели животного, если не прекращено облучение. Облучение при частоте 2,8 Гц давало больший тепловой эффект, чем при частоте 200 Гц и той же интенсивности. Анестезирование собак приводило к укорочению равновесной фазы или к ее исчезновению. У кроликов и крыс анестезирование понижало тепловой эффект при частоте 2,8 Гц, но повышало его у крыс при частоте 200 Гц. По мере повторения облучений наблюдалось повышение

сопротивляемости организма — фаза равновесной температуры удлинялась и животные переносили все более продолжительное облучение.

Наряду с температурными реакциями облучение вызывало значительные изменения в составе форменных элементов крови: понижение концентрации эритроцитов, сменяющееся ее повышением при продолжении облучения, увеличение количества нейтрофилов, уменьшение лимфоцитов и эозинофилов. Подобные изменения наблюдались^{83, 84} и при общем облучении крыс микроволнами частотой 24 Гц при интенсивности 24 мвт/см², как это показано на рис. 8.

В этой же серии исследований^{81, 85, 86} изучалось комбинационное действие микроволн и ионизирующих излучений. Было установлено, что животные, перенесшие ионизирующее облучение, сильнее реагируют на микроволновое. При одновременном облучении микроволнами (2,8 Гц, 100 мвт/см²) и γ -лучами (250 кР) быстрее восстанавливается уровень нейтрофилов в крови, чем это происходило без микроволнового облучения. С другой стороны, число нейтрофилов возрастало в восемь раз больше, чем только при микроволновом облучении. Предварительное облучение микроволнами (2,8 Гц) с интенсивностью 100 мвт/см² в течение 3–6 час почти в четыре раза уменьшало смертность от последующего ионизирующего (340 Р); менее продолжительное облучение (0,5–1,5 часа) не давало эффекта. С другой стороны, продолжительное, но более интенсивное облучение (165 мвт/см²) также не давало эффекта. Наконец, многократное микроволновое облучение, к которому животные адаптировались, уменьшало смертность от ионизирующего примерно в полтора раза.

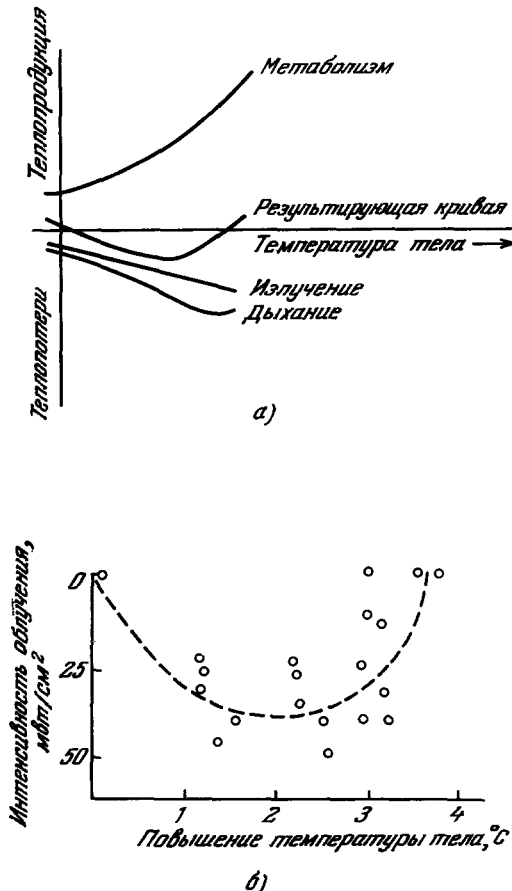
Эти адаптационные эффекты рассматривались авторами как проявление теплового стрессорного действия микроволны⁸⁷). Между тем был получен ряд экспериментальных данных, не согласующихся с этой гипотезой. Так, например, наблюдалось⁸³, что микроволны с частотой 24 Гц (полностью поглощающиеся в коже) вызывают в четыре раза большее повышение температуры, чем инфракрасные лучи при той же продолжительности и интенсивности облучения в 8 раз менее продолжительное.

Рис. 7. а) Характер теплообмена у теплокровных животных в зависимости от температуры тела; б) соотношение между интенсивностями облучения и повышением температуры тела собаки при общем облучении микроволнами ($\lambda = 10$ см).

лучения. А для гибели животных требовалось облучение микроволнами, чем инфракрасными лучами той же интенсивности.

Как указывалось, повторные облучения собак микроволнами больших интенсивностей уменьшали чувствительность животных к облучению. Наряду с этим обнаружено⁸⁷, что многократное облучение крыс микроволнами малой интенсивности (3 Гц, 1 мвт/см²), наоборот, сенсибилизируют организм к гибельному действию облучения

⁸⁷⁾ Стресс, или общий адаптационный синдром, — совокупность приспособительных реакций организма на любое опасное воздействие (тепло, химические вещества, психическая травма и т. д.). Эти реакции протекают по схеме: воздействующий агент (стрессор) стимулирует активность гипоталамуса и выделение гипофизом гормона АКТГ, что в свою очередь активизирует гормональную деятельность коры надпочечников. Описанные изменения крови характерны для ранних проявлений теплового стресса.



с большей интенсивностью ($65 \text{ мвт}/\text{см}^2$) и что гибельная продолжительность облучения непрерывными микроволнами в 4—5 раз больше, чем при импульсном облучении той же средней интенсивности. Между тем в более ранних исследованиях⁸⁸ было установлено, что при одинаковой интенсивности импульсные и непрерывные микроволны одинаково нагревают ткани животных, а по повышению общей температуры тела непрерывные микроволны оказались даже эффективнее импульсных⁸¹.

Комбинационное действие микроволн и ионизирующих излучений недавно наблюдалось⁸⁹ при столь малых интенсивностях и продолжительностях микроволнового облучения, когда тепловой стрессорный эффект был маловероятен. У крыс, в течение 25 дней ежедневно по 30 мин облучавшихся непрерывными микроволнами ($2,5 \text{ Гц}$, $10 \text{ мвт}/\text{см}^2$), отмечено уменьшение смертности от последующего γ -облучения (600 р) в три раза по сравнению с контрольными. Облучение импульсными микроволнами (1 мисек , 700 имп/сек) при прочих равных условиях не давало эффекта.

Сопоставление рассмотренных данных приводит к предположению³, что стрессорные реакции на действие микроволн средних и больших интенсивностей возникают за счет непосредственного действия на все рецепторы кожи (а не только на тепловые)

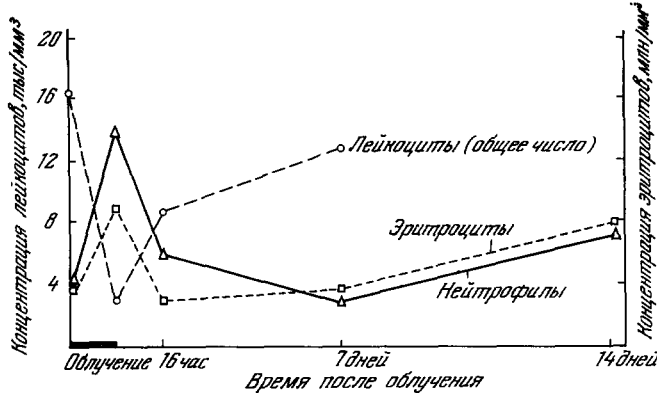


Рис. 8. Изменение концентрации лейкоцитов и эритроцитов в крови крысы в результате облучения микроволнами (24 Гц , $24 \text{ мвт}/\text{см}^2$).

и на структуры головного мозга, а эффекты, возникающие при облучении с малыми интенсивностями, — только за счет действия на структуры головного мозга.

Представляют интерес исследования реакций животных на облучение головы микроволнами. В опытах с крысами^{90, 91} облучение затылка микроволнами $2,4 \text{ Гц}$ с интенсивностью $300—400 \text{ мвт}/\text{см}^2$ в течение 3 мин вызывало конвульсии при повышении температуры мозга до 40° С .

Недавно были проведены эксперименты⁹², в которых голова обезьян облучалась в цилиндрическом резонаторе, питаемом от генератора $225—339 \text{ Мгц}$ мощностью 100 вт , а тело не подвергалось облучению. При фиксировании головы подбородком вверх облучение в течение 1 мин вызывало последовательно: возбуждение, сонливость, потерю подвижности, нарушение чувствительности, а трехминутное облучение — судороги, заканчивающиеся гибелью. При опущенном подбородке облучение вызывало только возбуждение и сонливость, а при свободном движении головы нарушений не отмечалось, но животные поднимали голову, глядя на антенну, питающую резонатор *). Облучение всего тела животного не вызывало никаких реакций. В процессе облучения головы температура тела изменялась незначительно, ритм биотоков головного мозга замедлялся (преобладал ритм 5 ед) и возрастала их амплитуда. В головном мозге отмечались нарушения межнейронных связей. Если облучение не было гибельным, то все эти объективные изменения и описанные нарушения поведения исчезали через 24 часа после опыта. Авторы рассматривают описанные эффекты микроволн как нетепловые, возникающие из-за нарушений функций промежуточного и среднего мозга в результате, по-видимому, молекулярных изменений в клетках.

Серия исследований была проведена^{93—96} при воздействии на голову или изолированный мозг кролика импульсными и непрерывными микроволнами ($2,4 \text{ Гц}$ и 575 Мгц , $0,002—1000 \text{ мвт}/\text{см}^2$), полями УВЧ (43 Мгц , 1000 в/м) и постоянным магнитным полем (800 з). Оказалось, что все эти факторы вызывают сходные реакции —

*) Авторы указывают, что в других исследованиях крысы ориентировали свое тело, а собаки поворачивали голову в том направлении, откуда шло излучение на волнах $1,25$ и $10,7 \text{ см}$.

появление медленных или частых ритмов в электроэнцефалограмме у 40—90% подопытных животных в зависимости от интенсивности воздействия. Характерно, что при облучении непрерывными микроволнами отмечалась парадоксальная зависимость: при переходе от сравнительно больших интенсивностей ($2-10 \text{ мвт}/\text{см}^2$) к меньшим ($0,08-0,4 \text{ мвт}/\text{см}^2$) соответственно понижался процент случаев изменения электроэнцефалограммы — от 79—84 до 40—65. Однако при еще меньшей интенсивности ($0,02 \text{ мвт}/\text{см}^2$) процент случаев изменений неожиданно вновь возрастал до 67—90.

Перерезка на уровне среднего мозга приводила к увеличению процента случаев реакций на включение воздействия, но не изменяла его в реакциях на выключение. При дополнительной перерезке обонятельных и зрительных нервов реакции сохранялись. Авторы объясняют описанные реакции непосредственным действием применявшимся полей на структуры промежуточного и переднего мозга.

Экстремальное проявление необратимого действия микроволн — смертельный исход — изучается давно, но критерии гибельных условий облучения не установлены еще с достаточной определенностью.

В экспериментах с крысами приближенно оценивались продолжительности облучения импульсными микроволнами разных частот и интенсивностей, достаточные для наступления гибели животного (непосредственно после облучения и через некоторое время после него) ^{82, 83, 98, 99}. Данные этих оценок приведены в табл. III.

Таблица III
Минимальные продолжительности облучения
микроволнами разных интенсивностей, приво-
дящего к гибели крыс, мин

частота, <i>Mгц</i>	3 000	24 000
интенсив- ность облуче- ния, $\text{мвт}/\text{см}^2$		
150—165	20	35
100—120	60	45
35—40	120	120

Как видно из табл. III, нельзя отметить зависимости «гибельной продолжительности» от частоты. Наряду с этим было установлено ^{87, 100, 101}, что эти продолжительности зависят от ряда условий облучения и от состояния животного. При одной и той же интенсивности для гибели животного требуется тем менее продолжительное облучение, чем выше температура его тела и окружающей среды, чем меньше размеры животного, чем медленнее повышается температура тела в процессе облучения (при расположении животного в плоскости поляризации — быстрее, чем при перпендикулярном расположении).

Опасная интенсивность при местном облучении оценивалась у людей по едва переносимому болевому ощущению ⁶⁰. Оно возникало при нагреве кожи до температуры $46-47^\circ\text{C}$, для чего требовалось интенсивность микроволны (3 Гц) в четыре раза более высокая, чем инфракрасных лучей (при одинаковой продолжительности облучения). Это различие объясняется более глубоким проникновением в ткани микроволн этого диапазона по сравнению с инфракрасными лучами. Опыты же с более короткими микроволнами (24 Гц) ⁸³ показали, что для одинакового нагрева кожи крыс требуется (при одинаковой продолжительности) интенсивность микроволны в 3 раза более низкая, чем интенсивность инфракрасных лучей.

Болевой эффект при непосредственном облучении периферического нерва у кошки импульсными микроволнами ($2,5$ и 10 Гц) исследовался в сравнении с эффектом нагрева нерва инфракрасными лучами и конвекционным теплом ^{102, 103}. Независимо от вида воздействия при повышении температуры нерва до 46°C отмечались физиологические реакции, свидетельствующие о болевом ощущении (учащенное дыхание, учащенное сердцебиение, расширение зрачков, повышение кровяного давления и др.).

Рассмотренные экспериментальные данные позволяют подметить две основные черты действия микроволн средних и больших интенсивностей: во-первых, это действие нельзя объяснить только тепловым эффектом и, во-вторых, характер проявлений этого действия практически не зависит от частоты, хотя выраженность того или иного проявления изменяется с частотой.

5. РЕАКЦИИ ОРГАНИЗМА ЧЕЛОВЕКА И ЖИВОТНЫХ НА ОБЛУЧЕНИЕ МИКРОВОЛНАМИ МАЛЫХ ИНТЕНСИВНОСТЕЙ

Нижняя граница теплового эффекта микроволн оценивалась для общего и локального облучений. Исходя из данных о теплообмене у человека, предположили⁵⁸, что при общем облучении маловероятно ожидать заметного повышения температуры тела, если интенсивность облучения ниже $10 \text{ мвт}/\text{см}^2$. Такого же порядка пороговая интенсивность была установлена при измерении нагрева кожи человека в облучаемом микроволнами (3 Гц) участке тела (плечо, спина)¹⁰⁴. Экспериментально установлено, что минимальное теплоощущение при облучении микроволнами 3 Гц участка тела человека, возникает при интенсивности облучения около $10 \text{ мвт}/\text{см}^2$, а при инфракрасном облучении — около $1 \text{ мвт}/\text{см}^2$ ¹⁰⁵. При облучении же более короткими волнами — 24 Гц — пороговая интенсивность теплоощущения составляет $61—78\%$ от соответствующей интенсивности инфракрасных лучей¹⁰⁶.

В экспериментах с животными^{79, 83, 107, 108} общее облучение вызывало повышение температуры тела только при интенсивности выше $10 \text{ мвт}/\text{см}^2$, причем эта величина оказалась примерно одинаковой для импульсных и непрерывных микроволн сантиметрового и дециметрового диапазонов. А при облучении животных миллиметровыми волнами с интенсивностью $10 \text{ мвт}/\text{см}^2$ отмечалось некоторое повышение температуры на $0,4—0,5^\circ$ ¹⁰⁹.

Таким образом, интенсивности облучения ниже $10 \text{ мвт}/\text{см}^2$ можно считать «нетепловыми» для импульсных и непрерывных микроволн разных частот как при общем, так и при местном облучении людей и животных. Причина такой «универсальности» заключается, очевидно, в том, что при интенсивности $10 \text{ мвт}/\text{см}^2$ энергия, преобразующаяся в тепловую (около $5 \text{ мвт}/\text{см}^2\text{сек}$), примерно равна теплопотерям с квадратного сантиметра поверхности тела человека и теплокровных животных при нормальных окружающих условиях.

Убедительные доказательства нетеплового действия микроволн были получены в многочисленных экспериментальных и клинических исследованиях, проведенных в СССР^{110—114}. В этих исследованиях было установлено, что микроволны нетепловых интенсивностей (особенно при хроническом облучении) оказывают обратимое действие на функции нервной системы, проявляющееся в двух основных формах: в виде «ваготонических» реакций, свидетельствующих о функциональных изменениях в сторону превалирования парасимпатического отдела вегетативной нервной системы (замедление ритма сердечных сокращений, понижение артериального давления, снижение активности холинэстеразы и др.) и в виде нарушений функционального состояния структур головного мозга (торможение условнорефлекторной деятельности, понижение чувствительности к звуковому раздражению, изменение электроэнцефалограммы, нарушение межнейронных связей в коре и др.).

Следует отметить, что все эти проявления нетеплового действия микроволн на нервную систему отмечались в широком диапазоне длин волн — от миллиметровых до дециметровых — и начиная от весьма малых интенсивностей облучения, порядка десятых долей $\text{мвт}/\text{см}^2$. При этом общий характер того или иного проявления практически не зависел от длины волны во всем исследованном диапазоне. Степень же выраженности наблюдавшихся изменений закономерно зависела от длины волны: нарушения функций головного мозга усиливались с возрастанием длины волны, а ваготонические реакции, наоборот, уменьшались. Такая зависимость согласуется с увеличением проникновения микроволн в ткани

по мере увеличения длины волны, что подтверждилось экспериментально: было обнаружено¹¹⁵⁻¹¹⁷, что при облучении животных миллиметровыми волнами отмечались наиболее выраженные морфологические изменения в кожных рецепторах, а при облучении 10-см — нарушения межнейронных связей в коре головного мозга.

В связи с этими данными были высказаны предположения^{3, 118}, что ваготонические реакции возникают рефлекторно за счет непосредственного воздействия микроволн на кожные рецепторы, а нарушение функций головного мозга — в результате действия микроволн на его структуры. Эти предположения частично подтверждались результатами исследований изменения ритма сердечных сокращений у животных в процессе их облучения микроволнами (2,4—3 ГГц)¹¹⁹⁻¹²⁰:

В опытах с кроликами облучениеентральных частей тела (со стороны живота) микроволнами малых интенсивностей ($7-12 \text{ мвт}/\text{см}^2$) вызывало ваготонический эффект — замедление ритма. Такой же эффект возникал при облучении любого участка тела микроволнами средних и больших интенсивностей ($70-200 \text{ мвт}/\text{см}^2$). Если же на облучаемом участке чувствительность кожных рецепторов была подавлена с помощью анестезии, то при указанных условиях облучения эффект не возникал.

Эти результаты достаточно убедительно свидетельствуют о том, что замедление ритма — результат рефлекса с кожных рецепторов, подвергаемых непосредственному действию микроволн. А эксперименты с лягушками¹²¹ дают основания полагать, что рефлекторная дуга замыкается в подкорковых структурах мозга (по-видимому, в центре блуждающего нерва, расположенному в продолговатом мозгу), так как эффект замедления сердечного ритма у лягушки под действием микроволн исчезал при нарушении любого звена этой рефлекторной дуги — от кожных рецепторов до центробежных нервов сердца.

Более сложная картина наблюдалась — при облучении дорзальных участков тела кролика (со стороны спины) и особенно головы. Облучение головы микроволнами малой интенсивности вызывало противоположный эффект — учащение сердечного ритма, а при анестезии рецепторов в кожном покрове головы этот эффект усиливался. Однако облучение головы при средних и больших интенсивностях приводило к замедлению ритма, а при анестезии кожных рецепторов изменений не происходило. Далее оказалось, что можно подобрать некую промежуточную интенсивность, когда облучение головы без анестезии кожных рецепторов вызывает замедление ритма, а при анестезии — учащение. —

Конечно, этих данных недостаточно еще для определенных заключений о механизме рассмотренных явлений, однако некоторые соображения можно высказать. Представляется вероятным, что характер изменения сердечного ритма при облучении головы без анестезии кожных рецепторов зависит от того, какие возбудимые структуры в большей степени реагируют при данной интенсивности облучения — рецепторы или структуры головного мозга. С другой стороны, следует учитывать известную физиологам особенность реакции ядер блуждающего нерва на непосредственное воздействие¹²³: слабое раздражение этой мозговой структуры вызывает учащение ритма сердца, а сильное — замедление.

6. ИЗМЕНЕНИЯ В ТКАНЯХ И ОРГАНАХ ЖИВОТНЫХ ПОД ДЕЙСТВИЕМ МИКРОВОЛН

При длительном облучении животных микроволнами больших интенсивностей наблюдались резкие изменения в тканях и органах (кровоизлияния, ожоги, некроз тканей и т. д.), которые рассматривались большинством авторов¹²⁴⁻¹²⁶ как результат резкого перегрева тканей.

Значительное число экспериментальных исследований было проведено при облучении глаз и семенников, которые наиболее эффективно нагреваются микроволнами в силу бедной снабженности кровеносными сосудами. Результаты этих экспериментов показали, однако, что изменения, вызываемые микроволнами в этих органах, нельзя отнести только за счет теплового эффекта.

Облучение семенников крыс микроволнами 2,5 Г_{Гц} в течение 10 мин, вызывающее нагрев тканей до 30—35° С, приводило к дегенеративным изменениям, в то время как при инфракрасном облучении подобные изменения происходили только при повышении температуры до 40° С¹²⁷. В других исследованиях¹²⁸ при одинаковом нагреве микроволны (2,3 Г_{Гц}) вызывали более ранние и более значительные изменения в семенниках крыс, чем инфракрасные лучи. Сравнительные диаграммы показаны на рис. 9. Наряду с этим было обнаружено¹²⁴, что облучение семенников крыс микроволнами (2,4 Г_{Гц}), вызывающими нагрев тканей до 41° С, приводило к эндокринным нарушениям в половой системе при отсутствии видимых изменений в семенниках. Облучение же инфракрасными лучами, приводящее к такому же повышению температуры, не вызывало нарушений. Однократное облучение мышей¹³⁰ микроволнами (10 Г_{Гц}, 370—400 мвт/см²) в течение 5 мин приводило к уменьшению численности потомства и увеличению числа мертворожденных. При этом изменения половых функций у животных были более значительными, чем это наблюдалось при обычном нагреве тела.

В многочисленных исследованиях¹³¹ было обнаружено необратимое действие микроволн средних и больших интенсивностей на глаза, выражющееся в появлении катаракты хрусталика глаза, развивающейся либо сразу после облучения, либо через несколько дней и даже недель. Были установлены пороговые интенсивности для возникновения катаракты при однократном облучении¹³² разной продолжительности: от 120 до 600 мвт/см² при продолжительностях 270,5 мин соответственно. Наряду с этим наблюдалось^{133—135} возникновение катаракты в результате многократных облучений с интенсивностями значительно ниже пороговой для однократного облучения. Этот кумулятивный эффект и продолжительное время развития катаракты побудили ученых искать ее причину не в тепловом эффекте микроволны, а в их действии на биохимические процессы, протекающие в хрусталике. Было обнаружено¹³⁶, что микроволновое облучение глаз приводит к понижению активности некоторых ферментов хрусталика, а также к понижению содержания в нем аскорбиновой кислоты и глютатиона^{133—136}. Авторы отмечают, что при других причинах образования катаракты (аллоксановый диабет) наблюдаются иные биохимические изменения.

Представляют интерес экспериментальные данные о влиянии микроволн на эмбриональное развитие^{138—139}. После 48-часовой инкубации при температуре 39° С куриное яйцо в течение 5 мин облучалось микроволнами (2,4 Г_{Гц}) с поддержанием такой же температуры; это привело к нарушению развития эмбриона: в его недифференцированных структурах прекращался дальнейший рост тканей, а в частично дифференцированных — последующая дифференциация. В других исследованиях¹⁴⁰ наблюдалось замедление ритма сердечных сокращений у куриного эмбриона при облучении микроволнами 1875 М_{Гц}, в то время как вызываемый микроволнами нагрев эмбриона должен был бы участвовать в сердцебиении. Отмечались также^{141, 142} изменения в кардиограмме сердца куриного эмбриона, облученного микроволнами, которые свидетельствовали о нарушении обменных процессов. Наконец, облучение культуры

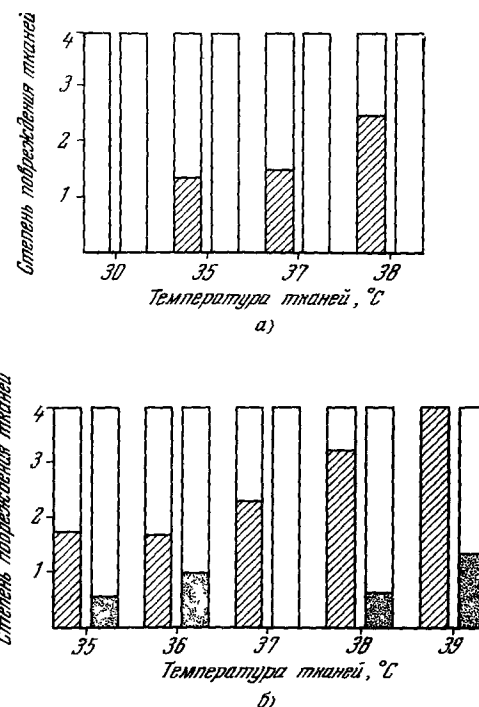


Рис. 9. Повреждение тканей семенников крыс (оценливое по четырехбалльной системе) в результате нагрева до различных температур путем облучения микроволнами (левые столбики) и инфракрасными лучами (правые столбики).

а) Через 1 час, б) через 2 дня после облучения.

тканей куриного эмбриона микроволнами 1,4 и 10 Гц, не вызывающие нагрева, приводило к стимуляции роста тканей¹⁴³.

Предпринимались исследования действия микроволи на злокачественные ткани. В серии экспериментов¹⁴⁴⁻¹⁴⁸ наблюдалось замедление роста опухолей у мышей в результате многократных облучений (по 5—10 мин) микроволнами 1875 и 3000 Мгц. Однако через некоторое время после прекращения облучений разрастание опухоли продолжалось. Замедление опухоли происходило также после инъекции больным животным экстрактом доброкачественных кожи и жира, облученных в течение 5 мин в пробирке. Инъекция же облученного гликогена, наоборот, ускоряла развитие опухоли. Эти противоположные эффекты коррелировали с наблюдавшимся автором различием в действии микроволи на эти субстраты (что будет рассмотрено ниже). Торможение роста злокачественной опухоли у мышей наблюдалось⁵ при облучении животных микроволнами 3 и 10 Гц большой интенсивности, что относили за счет тепловой коагуляции тканей. С другой стороны, имеется сообщение¹⁴⁷ о рассасывании саркомы у мышей при облучении микроволнами 6 Гц весьма малой интенсивности.

7. ИССЛЕДОВАНИЕ ЭФФЕКТОВ МИКРОВОЛН И ЭЛЕКТРОМАГНИТНЫХ ПОЛЕЙ ДРУГИХ ЧАСТОТ НА КЛЕТОЧНОМ И МОЛЕКУЛЯРНОМ УРОВНЕ

Действие электромагнитных полей радиочастот на одноклеточные организмы и биологические структуры изучалось в широком диапазоне от низких частот до сверхвысоких.

В ряде работ исследовалось действие полей высоких интенсивностей на бактерии, которое объяснялось с позиций теплового эффекта. Так, например, если под действием импульсных полей в диапазоне от 65 Гц до 600 Мгц среда, содержащая бактерии, нагревалась до температур 55—60°C, то жизнеспособность бактерий понижалась^{148, 149}. Облучение вирусов птичьей саркомы микроволнами (3 Гц) большой интенсивности¹⁵⁰ вызывало полную потерю активности, что объясняли нагревом среды. В недавно проведенных опытах по облучению светящихся бактерий микроволнами 2,6—3 Гц не было обнаружено какого-либо нетеплового действия, хотя автор¹⁵¹ не отрицает возможности такого действия при других условиях облучения.

Нетепловое бактерицидное действие впервые было отмечено в опытах с импульсными полями частотой 20 Мгц¹⁵². Под действием таких полей кишечные палочки погибали за 5—10 сек при напряженности 205 в/см, когда среда нагревалась до 40°C, в то время как при простом нагреве такой эффект получался при температуре 60°C за время 10 мин. Вирусы ящура полностью инактивировались при воздействии поля напряженностью 260 в/см в течение 10 сек и при 480 в/см — 2,4 сек; при этом среда нагревалась не более чем до 37°C. Подобный эффект за счет простого нагрева до той же температуры происходил за 60 час. В других опытах того же времени¹⁵³ бактерицидное действие полей с частотами 12—300 Мгц проявлялось за 5 мин, хотя максимальная температура среды при этом не превышала 37°C.

Нетепловое действие микроволн с длиной волны 21 см на ряд бактерий, проявлявшееся в замедлении или прекращении размножения, наблюдалось¹⁴³ при повышении температуры, которое не было биологически значимым. Такие же эффекты микроволн на бактерии отмечались¹⁵⁴ при температурах 37—42°C, не являющихся гибельными для бактерий.

В последние годы внимание многих исследователей было привлечено к исследованию эффекта ориентации частиц и одноклеточных организмов под действием УВЧ полей различных частот^{155—159}. В этих исследованиях были получены следующие основные результаты:

а) Под действием импульсных и непрерывных полей УВЧ (1—100 Мгц) суспензированные частицы угля, крахмала и молока, эритроциты и лейкоциты выстраиваются в цепочки параллельно электрическим линиям поля. Для каждого типа частиц имеется оптимальный диапазон частот,

в пределах которого эффект возникает при минимальной напряженности поля.

б) Одноклеточные организмы — жгутиковые и ресничные движутся параллельно либо перпендикулярно линиям поля в зависимости от частоты. При этом для каждого типа одноклеточных имеются специфичные диапазоны частот. Так, например, эвглена ориентируется параллельно полю (рис. 10) при частотах 5—7 $M\text{g}\mu$ и перпендикулярно при частотах 27—30 $M\text{g}\mu$. Амебы ориентируют тело вдоль линий поля при частоте около 5 $M\text{g}\mu$ и перпендикулярно при 27 $M\text{g}\mu$.

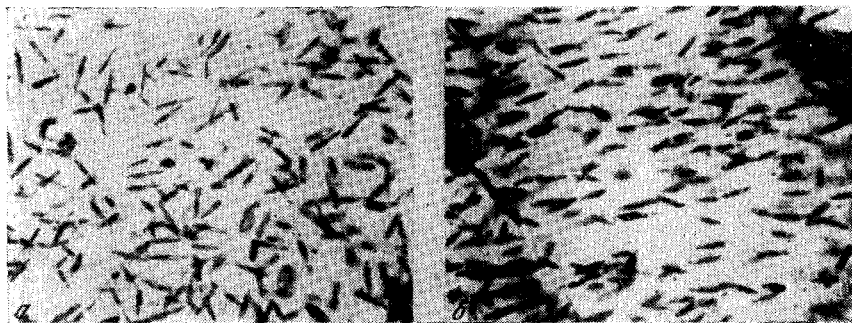


Рис. 10. Ориентированное движение жгутиковых одноклеточных организмов (эвглены) под действием электромагнитного поля (5—7 $M\text{g}\mu$).

а) Беспорядочное движение до приложения поля; б) движение параллельно электрическим силовым линиям поля.

в) При ориентации одноклеточных вдоль линий поля их внутриклеточные несимметричные частицы могут быть ориентированы перпендикулярно.

г) Наряду с ориентационными движениями при некоторых (специфичных для каждого вида) частотах наблюдаются различные вращательные движения одноклеточных. Определенной корреляции между частотой и типом движения установить не удалось.

Теоретическое рассмотрение ориентационных эффектов^{160—162} построено на анализе сил притяжения между частицами, в которых под действием полей индуцируются дипольные заряды. Показано, что постоянная времени формирования ориентированных цепочек пропорциональна кубу радиуса частичек и обратно пропорциональна напряженности при сильных полях. Эффекты предполагаются возможными и при микроволновых частотах, но при высоких и средних интенсивностях (сотни $\text{мвт}/\text{см}^2$), особенно в электролитических средах, в значительной мере шунтирующих поля. Определены области частот, при которых возможна «параллельная» и «перпендикулярная» ориентации в зависимости от значений диэлектрических параметров частиц и сусpenзирующей среды¹⁶³.

Однако проведенные недавно исследования^{164—166} дают основания полагать, что поведение одноклеточных организмов под действием электромагнитных полей связано с предполагаемой у них возбудимой структурой, являющейся как бы прообразом нервно-мышечной системы¹⁶⁷. Было установлено, что на импульсы постоянного и переменного тока при определенных пороговых напряжениях инфузории парамеции отвечают «электрошоковой реакцией» (ЭШР), проявляющейся в виде резких остановок движения с поворотом оси тела параллельно электрическим силовым линиям. А характер зависимости пороговых напряжений от длительности импульсов и от частоты переменного тока оказался таким же.

как и при соответствующих раздражениях нервных и мышечных тканей животных и человека (рис. 11). На длительное воздействие переменным током парамеции реагируют движениями различного типа (в зависимости от значений частоты и напряжения), которые свойственны этим инфузориям в естественных условиях их существования.

Результаты этих исследований, проведенных в широком диапазоне частот — от 20 гц до 10 Мгц, — подтверждают существование у парамеций возбудимой структуры, чувствительной к переменным электромагнитным

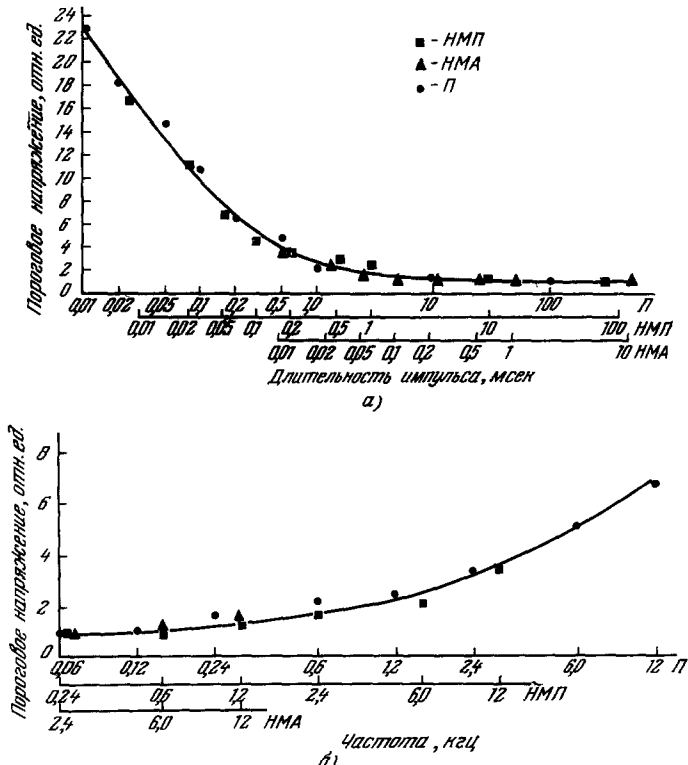


Рис. 11. Сравнение зависимости порога возбудимости парамеций (Π), нервно-мышечного препарата лягушки (НМП) и нервно-мышечного аппарата человека (НМА) от длительности раздражающих импульсов постоянного тока (а) и от частоты переменного тока (б).

полям, и давали надежду на то, что эта структура будет чувствительна и к полям микроволновых частот. И в серии специальных исследований 168, 168а такая чувствительность к микроволнам была обнаружена.

Оказалось, что реакция ЭШР у парамеций возникает под действием импульсов микроволн (2,4–3 Ггц) различной длительности и под действием серии коротких (1 мсек) импульсов. Пороговые значения мощности в импульсе (или средней мощности серии импульсов), при которых возникла такая реакция, были обратно пропорциональными длительности импульсов (или серии импульсов), как это показано на рис. 12, а. Далее выяснилось, что хотя при подпороговых значениях мощности микроволны не вызывают ЭШР, но отмечается повышение чувствительности парамеций к другим раздражителям. Такая сенсибилизация парамеций к раздражению импульсами переменного тока под действием микроволн иллюстрируется рис. 12, б.

Следует отметить некоторые характерные особенности рассмотренных явлений: во-первых, характер двигательной ЭШР парамеций был идентичным при воздействии переменными токами различной частоты (от 20 гц

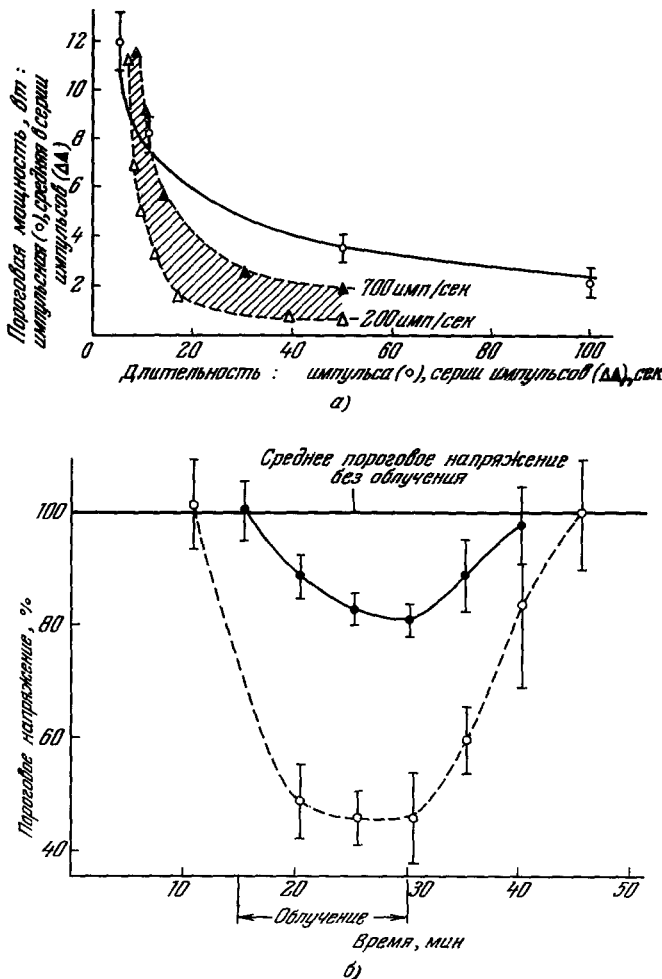


Рис. 12. Влияние микроволн ($\lambda = 10 \text{ см}$) на возбудимую систему парамеций.
 а) Пороговые мощности импульсов (или серий импульсов) микроволны, вызывающих раздражение (ЭШР) парамеций, при различных длительностях импульса (серии): сплошная кривая — зависимость при раздражении отдельными короткими (1 мсек) импульсами с различной частотой повторения. б) Изменение порогового напряжения импульсов переменного тока (1200 гц, 100—120 мсек), вызывающих раздражение парамеций (ЭШР), при одновременном облучении импульсами микроволны подпороговой мощности: сплошная кривая — изменение при облучении импульсами микроволны с длительностью, равной длительности импульса переменного тока; пунктирная кривая — изменение при облучении сериями коротких импульсов при длительности серии, равной длительности импульса переменного тока.

до 10 Мгц) и микроволнами; во-вторых, пороговые значения напряжений и мощностей, при которых возникала ЭШР, были обратно пропорциональными квадратным корням из величин длительности импульсов и частоты (а не первым степеням этих величин); в-третьих, нагрев среды, в которой находились парамеции, был незначительным при всех видах воздействий, вызывавших ЭШР.

Исходя из этих особенностей, можно заключить, что ЭШР следует рассматривать как результат нетеплового действия электромагнитных

полей и что характер этой реакции не зависит от частоты воздействующих полей. Таким образом, в реакции возбудимой структуры парамеций на электромагнитные поля мы встречаемся с теми же характерными чертами, которые отмечались выше для реакций нервной системы животных и человека.

Следует упомянуть здесь о недавно проведенных исследованиях¹⁶⁹ влияния микроволны на физиологическую функцию парамеций — фагоцитарную. Оказалось, что под действием микроволны 2375 Мгц фагоцитарная активность инфузорий (поглощение в вакуолях частиц туши) изменяется двухфазно в зависимости от интенсивности: в интервале от 1,5 до 275 мвт/см² отмечается сначала повышение активности почти

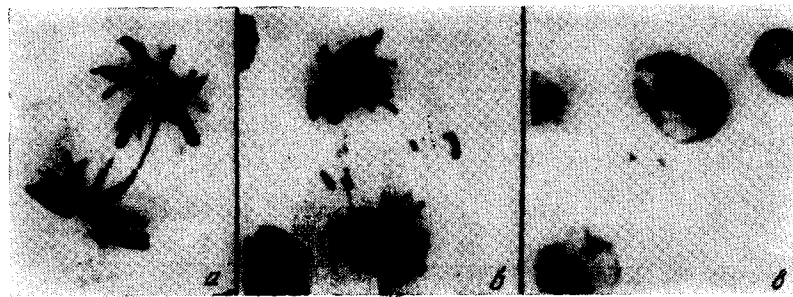


Рис. 13. Изменения в хромосомном аппарате делящихся клеток корня чеснока под действием импульсных полей УВЧ.

Образование: а) мостиков между дочерними группами хромосом; б) мостиков и фрагментов; в) микронуклеусов из фрагментов.

вдвое, затем снижение до нормального уровня и, наконец, понижение ниже нормального уровня.

Наряду с этими опытами, свидетельствующими о влиянии электромагнитных полей на клетку-инфузорию, имеются экспериментальные основания предполагать возможность влияния полей и на внутриклеточные процессы. Примером такого влияния могут служить результаты исследования действия импульсных полей УВЧ на процессы деления клеток в растущем корне чеснока^{158, 159}. В клетках корня, подвергавшегося пятиминутному воздействию (5—40 Мгц, 15—30 мкsec, 500—1000 имп/сек, 250—6000 в/м пиковых), отмечались хромосомные аберрации: в той стадии деления, когда хромосомы должны были разделиться на две дочерние группы, они были соединены мостиками, которые распадались на фрагменты с образованием микронуклеусов, как это показано на рис. 13. Такие изменения должны приводить к изменению наследственных признаков. И такие изменения наблюдались этими же авторами в экспериментах с мушками-дрозофилами при аналогичном воздействии (от 5 мин до 1 часа): возрастило число летальных и внешне проявляющихся мутаций примерно в 13 раз по сравнению со средним числом таких мутаций у мушек, не подвергавшихся воздействию.

Влияние микроволн на структуры биологических молекул впервые было обнаружено в 1940—1946 гг.^{144, 145, 170, 171}. Облучение раствора гликогена микроволнами с частотами 1875 и 3000 Мгц приводило к уменьшению угла вращения плоскости поляризации в этом оптически активном растворе. Величина этого эффекта и характер его развития по мере облучения зависели от частоты воздействующих волн, концентрации и вязкости раствора. Частота 3000 Мгц оказалась значительно эффективнее, поэтому она и применялась в большинстве экспериментов.

Зависимость эффекта от концентрации и вязкости оказалась весьма резкой, как это иллюстрируется рис. 14, б *). При облучении водного раствора гликогена процент уменьшения угла вращения плоскости поляризации возрастал по мере уменьшения концентрации до «оптимального» значения 0,1 %, при котором наблюдалась полная потеря оптической активности раствора (изменение на 100 %). В растворе гликогена в глицерине такой же максимальный эффект имел место при концентрации 0,05 %, не «оптимальной» для водного раствора. Было обнаружено также,

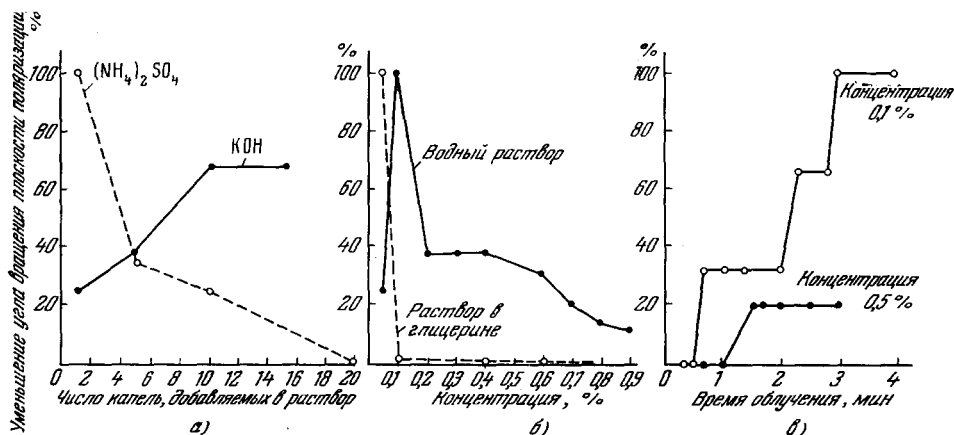


Рис. 14. Изменение угла вращения плоскости поляризации в растворе гликогена под действием микроволны (3 Гц), в зависимости:
а) от добавления в раствор КОН (облучение 3 мин); б) от концентрации и вязкости раствора;
в) от времени облучения.

что влияние микроволн на водный раствор гликогена резко изменяется, если к раствору добавить несколько капель КОН или $(\text{NH}_4)_2\text{SO}_4$, как это показано на рис. 14, а.

Изменение оптической активности водного раствора гликогена в зависимости от времени облучения носило ступенчатый характер (рис. 14, в). При этом как наклон ступенчатых переходов, так и их число зависели от концентрации раствора.

Противоположное действие оказывали микроволны на оптически неактивные экстракти тканей кожи и жира крысы (в сероуглероде): облучение превращало эти экстракти в оптически активные, правоворотящие плоскость поляризации ^{145, 146, 171}.

Наряду с этими эффектами наблюдалось также действие микроволн на структуру коллоидных растворов крахмала ¹⁶². Облучение в течение 1 мин повышало скорость коагуляции раствора, причем этот эффект также зависел от концентрации последнего (рис. 15).

Описанные результаты стимулировали исследования действия электромагнитных полей на гамма-глобулины человека ^{172, 173}. Так как ранее установленное влияние рентгеновских лучей на раствор гамма-глобулинов выражалось в изменении электрофоретической диаграммы с однопиковой на двухпиковую, а также в изменении антигенной активности раствора, эти методы индикации и были приняты в исследованиях с электромагнитными полями.

Гамма-глобулины в физиологическом растворе подвергались воздействию полей в диапазоне 10—200 Мгц при импульсном (10—60 мксек,

*) Графики, представленные на рис. 14, несколько изменены по сравнению с оригиналами с учетом замечаний и данных, приведенных в статье ¹⁷⁰.

500—2000 имп/сек) и непрерывном облучениях в течение 20 мин. Исследование с интервалами 10 Мгц выявило «эффективные частоты»— 30, 60, 140, 180, 200 Мгц, при которых в электрофоретической диаграмме появлялись двойные пики. При интервале 1 Мгц и поддержании постоянной тем-

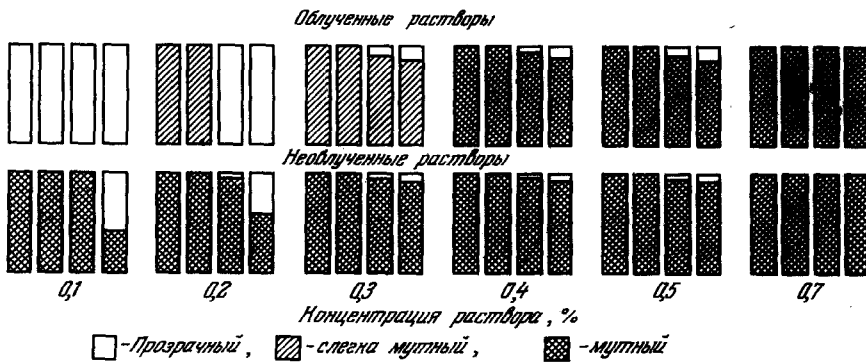


Рис. 15. Коагуляция в растворе крахмала, облученном микроволнами (3 Ггц, облучение 1 мин).

Первый столбик — сразу после облучения; второй столбик — через 30 мин после облучения; третий столбик — через 60 мин после облучения; четвертый столбик — через 90 мин после облучения.

пературы 22° С эффективными оказались частоты 10, 15, 20 и 25 Мгц, что указывало на наличие гармоники 5 Мгц.

Пользуясь уравнениями Дебая (для данной вязкости раствора), авторы пересчитали эти эффективные частоты для температур 30—40° С. Экспериментальные данные, полученные с интервалом 20 кгц при температуре 37,5° С, хорошо согласовывались с вычисленными, как это иллюстрирует рис. 16.

Исследование влияния микроволи на антигенную активность гамма-глобулинов проводилось путем титрования облученного и необлученного

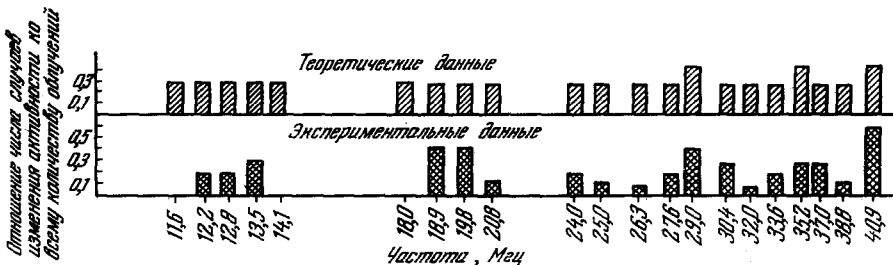


Рис. 16. Изменение активности гамма-глобулинов крови человека (оцениваемой по изменению электрофоретической диаграммы) под действием электромагнитных полей УВЧ определенных частот.

растворов против сыворотки крови кролика (иммунизированного к гамма-глобулинам человека). Были обнаружены «эффективные частоты», при которых облученные растворы показывали значительно более высокие титры, чем необлученные или облученные при других частотах. Эффективные частоты либо совпадали с соответствующими частотами, выявленными в электрофоретических исследованиях, либо были несколько сдвинуты относительно последних как в сторону более низких, так и в сторону более высоких частот (на десятки кгц).

На рис. 17 приведены данные этих исследований при различных условиях облучения, которые показывают, что эффект проявляется при облучении с малыми интенсивностями, причем главную роль играет не поглощенная в растворе энергия, а напряженность поля.

Авторы пришли к выводу, что нагрев раствора не играет роли в обнаруженном эффекте. Изменение температуры раствора только сдвигает эффективные частоты, в соответствии с теорией Дебая. Предполагают, что

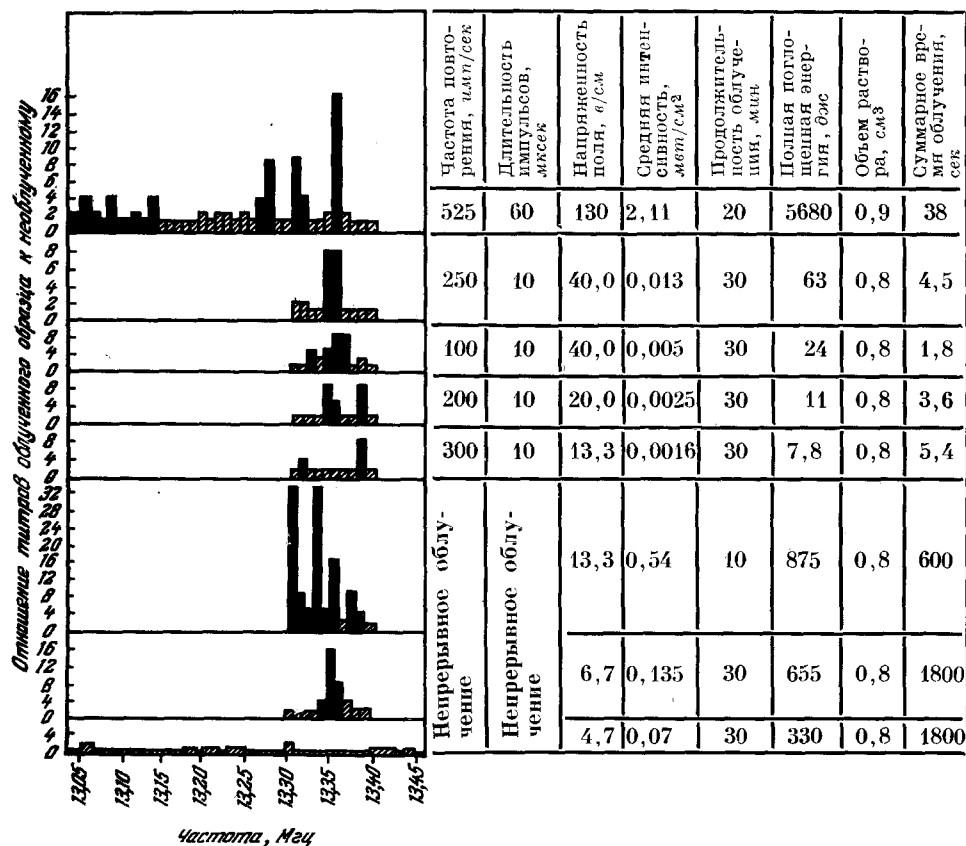


Рис. 17. Изменение активности гамма-глобулинов крови человека (оцениваемой путем титрования против сыворотки крови кролика, иммунизированного к гамма-глобулинам крови человека) под действием полей УВЧ при варьировании режима воздействия.

повышение активности гамма-глобулинов происходит благодаря тому, что под действием полей «раскручиваются» спирали гамма-глобулинов.

Эти же авторы сообщают¹⁷⁴ о полной инактивации фермента амилазы (из поджелудочной железы свиньи) в результате воздействия электромагнитными полями с частотами 12, 14, 15 и 16 Мгц при постоянной температуре субстанции 37,5° С.

Наряду с этим изменение активности некоторых ферментов наблюдалось при воздействии микроволн на животных. Так, облучение морских свинок микроволнами в течение 5—10 мин понижало активность амилазы и липазы¹⁷⁵, понижало содержание в крови глутатиона — одного из активаторов ряда ферментов¹⁷⁶, под действием микроволн с частотой

2,4 ГГц в мышцах крыс повышалась расщепляющая активность фермента фосфорилазы¹⁷⁷.

В заключение этого раздела укажем на некоторые исследования с белковыми молекулами, проведенные с помощью микроволн. На основе измерений диэлектрической проницаемости сывороток крови в широком диапазоне микроволновых частот была определена степень гидратации некоторых протеиновых молекул. Для молекул гемоглобина крови человека степень гидратации оказалась равной $0,23 \pm 0,1$ г на 100 г воды^{36, 37}, для альбуминов сыворотки бычьей крови $0,15 \pm 0,1$ г^{178, 179} и для альбуминов сыворотки крови человека $0,42 \pm 0,1$ г (или с учетом всех возможных ошибок в интервале 0,04—0,65 г)¹⁸⁰.

Группа авторов исследовала комплексную диэлектрическую проницаемость кератинов^{38, 181, 182}. Основанием для исследований послужил тот факт, что диэлектрическая проницаемость кератинов при частоте 13 МГц оказалась значительно выше квадрата коэффициента преломления. Это позволяло предполагать наличие атомной и ионной поляризации в молекулах кератина, что должно было приводить к изменению диэлектрической проницаемости в зависимости от ориентации волокон шерсти относительно электрических линий в микроволновом диапазоне. Однако такое различие не было обнаружено. Но данные, полученные при вариации количества адсорбированной волокнами шерсти воды, дали основания полагать, что существуют три вида последней: «локализованная вода», молекулы которой невращательно связаны с полярными группами кератиновой молекулы, «подвижная вода», обладающая свойствами жидкости, и «промежуточная вода», потенциальная энергия адсорбции которой лежит между соответствующими величинами для локализованной и связанный воды.

Исследования диэлектрических свойств некоторых кристаллических протеинов, пептидов и аминокислот в диапазоне 1 кГц — 4 ГГц и интервале температур 0—100°С³⁴ позволили сделать заключения, что поляризация этих молекул происходит за счет релаксации их полярных групп в соответствии с моделью Дебая для широкого спектра времен релаксации и что эта релаксация частично ограничена как внутрицепочечными, так и пространственными водородными связями. Высказаны соображения о возможности резонансного поглощения микроволн протеиновыми молекулами, особенно в растворах.

8. РЕЦЕПЦИЯ И ГЕНЕРАЦИЯ ЭЛЕКТРОМАГНИТНЫХ ПОЛЕЙ В ЖИВЫХ ОРГАНИЗМАХ

Влияние микроволн на органы чувств человека было установлено экспериментально¹⁸³: у людей, подвергавшихся хроническому облучению при нетепловой интенсивности (от сотых долей $\text{мВт}/\text{см}^2$), понижалась чувствительность обонятельного и зрительного анализаторов. В опытах с кроликами было обнаружено¹⁸⁴, что повреждение обонятельного анализатора резко ослабляет реакцию на облучение головы полями УВЧ — изменение электроэнцефалограммы. Автор заключил, что это свидетельствует о двух возможных путях действия полей на кору головного мозга: через обонятельный анализатор и за счет непосредственного влияния на структуры промежуточного и переднего мозга.

Непосредственная рецепция микроволн человеком была открыта недавно¹⁸⁵ в форме звуковых ощущений, появляющихся у людей в процессе облучения импульсно-модулированными микроволнами. Подробные исследования этого интересного явления^{186—188} позволили установить некоторые его закономерности.

а) При включении импульсно-модулированного передатчика микроволны люди, находящиеся в зоне излучения, слышат звуки в виде жужжания, свиста или щелкания (в зависимости от режима модуляции). Источник звука ощущается где-то в области затылка. Опыты с экранированием показали, что восприятие «радиозвука» происходит только в височной области головы.

б) «Радиозвук» хорошо сопоставляется со звуком, создаваемым в динамике усиленными случайными колебаниями огибающей модуляционных импульсов при вырезании частот ниже 5 кгц и максимальном расширении в сторону более высоких частот. Люди, способные воспринимать звуки только через костные ткани, но с частотой выше 5 кгц, слышат «радиозвук» так же хорошо, как и здоровые.

в) «Радиозвук» ощущался при облучении микроволнами с частотами 425, 1310 и 2982 Мгц и скважности импульсов от 0,0004 до 0,028. Пороговые импульсные интенсивности, при которых ощущался «радиозвук», составляли 230—270 мвт/см² для частот 425 и 1310 Мгц (средние интенсивности 0,4—7 мвт/см²) и 5250 мвт/см² для частоты 2982 Мгц. При облучении же микроволнами с частотой 8900 Мгц эффекта не наблюдалось даже при интенсивности 25 000 мвт/см².

г) Окружающий шум до 90 дБ не устранил эффекта «радиозвука», хотя и снижал чувствительность к нему. Опыты с антишумовыми пробками и соответствующие расчеты показали, что при помещении испытуемого в звукоизолирующую камеру можно ожидать восприятия «радиозвука» при весьма малых импульсных интенсивностях микроволн — порядка 0,3 мквт/см².

д) Предполагается, что восприятие микроволн происходит непосредственно в слуховых нервах и клетках слуховой зоны коры головного мозга различными «детекторами» и что наряду с «радиозвуком» возможны и другие ощущения при облучении (в зависимости от его режима).

Автор полагает, что исследования подобных эффектов могут дать существенную информацию о функционировании нервной системы и, в частности, о характере кодирования сигналов, поступающих в центральную нервную систему. С другой стороны, он считает, что микроволны могут с успехом применяться для стимуляции нервной системы, так как при этом не будет неизбежных повреждений, связанных с введением электродов.

Следует указать здесь на появившиеся недавно короткие сообщения, свидетельствующие о рецепции микроволн живыми организмами¹³. Облучение людей микроволнами в диапазоне 380—500 Мгц вызывало галлюцинации, которые возникали при определенных для каждого субъекта частотах. При облучении муравьев микроволнами 3-см диапазона насекомые ориентировали свои усики вдоль электрических линий поля и теряли способность «сообщать» другим особям о нахождении источников пищи. У больших муравьев размеры усиков были близкими к 1/4 длины волны.

По современным представлениям¹⁸⁹ деятельность органов чувств не ограничена только рецепцией, связанной с ощущениями, а проявляется и в функциях рецепторов, не имеющих эквивалента в виде ощущений. Исследованиями последних лет установлено^{190, 191}, что на всем протяжении существования животного мира (и даже в некоторых случаях растительного) в основе функций рецепции и биологического движения лежат одни и те же главные механизмы, основанные на элементарной чувствительности белковых молекул, отвечающих изменением структуры на внешние воздействия.

В свете этих положений можно было бы рассматривать как проявление рецепции микроволны у одноклеточных организмов описанные выше

ЭШР, а изменения активности гамма-глобулинов под действием полей УВЧ — как рецепцию на молекулярном уровне.

Наряду с рассмотренными примерами рецепции микроволн и других электромагнитных полей различными возбудимыми структурами живых организмов имеются данные и о наличии рецепторов, специализированных к восприятию электрических полей. Недавно открыта высокая чувствительность некоторых видов рыб к электрическим полям (минимальные изменения градиента поля, воспринимаемые рыбами, составляют 0,003 мкв/мм)¹⁹². Автор рассматривает эту способность как новое «чувство», органом которого являются специализированные «электрорецепторы».

В последние годы у некоторых животных была обнаружена способность к генерации электрических и магнитных полей. Рыбы определенных видов испускают электрические импульсы (длительностью 0,2—10 μsec и с частотой 60—1000 имп/сек)¹⁹². При распространении электрических импульсов в возбужденном нерве лягушки вокруг нерва возникают соответствующие импульсы электрического и магнитного полей^{193, 194}.

Вопрос о возможности излучения электромагнитных полей животными организмами возник еще в 30-х годах в связи с сообщением¹⁹⁵ о том, что методами гетеродинирования удалось обнаружить излучение радиоволн у людей, находящихся в состоянии сильного эмоционального возбуждения. В течение ряда лет к таким сообщениям относились скептически ввиду несовершенства применявшейся в этих экспериментах радиоаппаратуры. Однако недавно появилось сообщение¹⁹⁶ об успешном повторении этих исследований с применением совершенной современной аппаратуры.

В недавно проведенных (весьма корректно поставленных) опытах было обнаружено излучение электромагнитных полей мышцами человека¹⁹⁶. В процессе сокращения мышцы излучают поля с частотами от десятков килогерц до 150 кГц (а по предположению авторов, и более высоких). Наибольший эффект наблюдался от мелких мышц, средний — от икроножных; не отмечалось излучения от мышц головы. При различных методах измерения — узкополосном, широкополосном и выделяющем специфические частоты — были обнаружены вариации в характере излучения в зависимости от возраста и состояния здоровья испытуемых.

На основе анализа экспериментальных данных о биологическом действии электромагнитных полей, о рецепции и генерации этих полей в живых организмах была высказана гипотеза о возможной роли электромагнитных полей в процессах жизнедеятельности^{3, 197}. Предполагается, что наряду с нервной и гуморальной системами передачи информации и управления эти функции осуществляются в живых организмах и при помощи электромагнитных полей. Такая система связи и управления представляется вероятной на всех уровнях функционирования живого организма — на молекулярном, клеточном, органов и системном (а возможно, и между особями биологического вида). Исходя из соображений надежности, электромагнитная связь на клеточном уровне предполагается широкополосной в диапазоне примерно от 100 до 1000 $M\text{Гц}$, в пределах которого частотная зависимость импеданца клеточных мембран уже незначительна, а полярные свойства молекул воды еще не проявляются. На молекулярном уровне взаимодействие предполагается остроизбирательным и вероятным как в микроволновом и инфракрасном диапазонах, так и в низкочастотном. Следует упомянуть здесь высказанное ранее предположение¹⁹⁸ о наличии прямой электродинамической связи между близко расположенными молекулами.

9. ВОПРОСЫ МЕХАНИЗМА БИОЛОГИЧЕСКОГО ДЕЙСТВИЯ МИКРОВОЛН И ЭЛЕКТРОМАГНИТНЫХ ПОЛЕЙ ДРУГИХ ЧАСТОТ

Накопленного экспериментального материала недостаточно еще для настоящего физико-химического анализа биологического действия электромагнитных полей микроволнового и более длинноволнового диапазонов. Вместе с тем за последние годы предложено несколько гипотез (большей частью феноменологических) о механизмах этого действия, которые полезно рассмотреть в качестве отправных пунктов для дальнейших исследований.

Так как большинство данных о биологическом действии микроволн было получено при исследовании физиологических изменений в облучаемом организме, целесообразно было попытаться подойти к выяснению

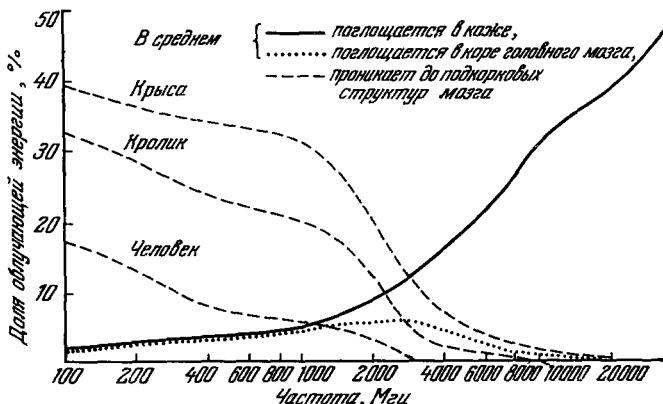


Рис. 18. Частотная зависимость поглощения микроволн в структурах мозга человека, кролика и крысы при облучении головы.

механизма этого действия по пути от реакций организма к первичным физико-химическим реакциям. С таких позиций и рассматривались возможные механизмы действия микроволн на физиологические функции организма человека и животных^{3, 199, 200}.

Как было показано выше, характер различных физиологических реакций у животных на микроволновое облучение свидетельствует о действии микроволн главным образом на нервную систему и вероятнее всего на периферические рецепторы и структуры головного мозга. Исходя из данных о проникновении энергии микроволн в ткани тела животных и человека, можно довольно определенно ответить на вопрос, действием на какие из этих возбудимых структур обусловливается та или иная реакция организма животного на облучение микроволнами определенной частоты.

В предположении облучения затылочной части головы человека, кролика и крысы приближенно оценивалось поглощение микроволн в коже, мышечной и мозговой тканях (без учета небольшого поглощения в подкожной жировой ткани и костях черепа). На рис. 18 приведены частотные характеристики поглощения микроволн с учетом отражения от поверхности тела в среднем 50% облучающей энергии. Анализ этих кривых показывает, что при облучении человека микроволнами сравнительно низких частот действие на подкорковые структуры преобладает над действием на рецепторы кожи, при частотах 600—1000 Гц оба типа действия становятся сравнимыми, а при более высоких частотах можно говорить только о действии на рецепторы кожи. При облучении кролика

и крысы частоты «сравнимого действия» составляют соответственно 2000 и 3000 $M\mu$. Поглощение в коре головного мозга во всех случаях невелико и сравнимо с поглощением в коже до частот 1000—2000 $M\mu$.

Эти выводы достаточно хорошо согласуются с экспериментальными наблюдениями влияния микроволн различных диапазонов на центральную нервную систему человека и животных. Сравнительные данные,

Таблица IV

Сравнение эффективности влияния микроволны разных диапазонов на центральную нервную систему животных и человека при непосредственном и рефлекторном воздействии

Предполагаемый характер воздействия	Наблюдаемые физиологические изменения и метод их оценки	Диапазоны длин волн			
		миллиметровый	сантиметровый: 3 см 10 см	декиметровый	метровый
Непосредственное воздействие на структуры головного мозга	Изменение электроэнцефалограммы у крыс ²⁰¹ : % животных, у которых отмечены изменения	—	64	77	81
	Ощущение человеком «радиозвука» ¹⁸⁶ : чувствительность = $\frac{1}{\text{мин. ощут. интенс. отн. ед.}}$	—	0 1,9	37—43	—
Рефлекторное воздействие через поверхностные рецепторы	Снижение уровня кровяного давления у крыс ²⁰² : критерий Стьюдента	5,25	4,60 4,09	2,88	—
	Замедление ритма сердцебиения у людей ²⁰³ : % людей, у которых отмечены изменения	—	73	—	24
Сочетание рефлекторного и непосредственного воздействий	Изменение реакции у крыс на звуковое раздражение ²⁰⁴ : % животных, у которых отмечены изменения	50	58 100	50	—
	Понижение активности холинэстеразы в стволе мозга (числитель) и в крови (знаменатель) у крыс ²⁰⁵ : % понижения	37 15	30 27	48 36	—
	Изменение условно-рефлекторной деятельности у крыс ²⁰⁶ : качественная оценка	Средне выражено	Слабо выражено	Сильно выражено	—

приведенные в табл. IV, показывают, что в тех случаях, когда физиологические реакции могут быть однозначно отнесены за счет непосредственного воздействия микроволн на структуры головного мозга, эффективность этих реакций закономерно возрастает с увеличением длины волны; в тех случаях, когда реакции организма можно объяснить рефлекторными эффектами за счет непосредственного воздействия микроволн на поверхностно расположенные рецепторы, эффективность реакций убывает по мере увеличения длины волны; и, наконец, в тех случаях, когда физиологические реакции можно рассматривать как результат сочетания рефлекторного и непосредственного воздействия микроволн, нельзя отметить определенную закономерную зависимость эффективности реакций от длины волны.

Изменения функций нервной системы, возникающие под действием микроволн, не являются специфичными. Известно, что подобные изменения происходят при любом способе раздражения или изменения возбудимости периферической и центральной частей нервной системы. Поэтому естественно полагать, что и действие микроволн на нервную систему обусловливается раздражением или изменением возбудимости нервных тканей. И в опытах с нервно-мышечным препаратом лягушки^{3, 207} удалось непосредственно наблюдать такое действие микроволн. Облучение непрерывными волнами ($2,4 \text{ Гц}$, 11 мвт/см^2) вызывало удлинение абсолютной и относительной рефрактерной фазы нерва, а облучение импульсными (3 Гц , 1 мксек , 700 имп/сек , 12 мвт/см^2) — повышение возбудимости нерва и скорости проведения по нему возбуждения. В качестве другого первичного физиологического механизма действия микроволн на нервную систему можно предполагать влияние волн на так называемую спонтанную электрическую активность периферической нервной системы, которая, как известно, играет важную роль в поддержании общей возбудимости нервных центров. Наконец, описанные выше опыты с парамециями¹⁶⁸ показывают, что микроволны могут раздражать возбудимую структуру или повышать ее чувствительность к другим раздражителям. Эти результаты в сочетании с данными о действии микроволн на бактерии и культуры тканей (описанными выше) дают основание говорить о возможности влияния микроволн на возбудимые структуры любых живых клеток.

Выяснение физико-химических механизмов действия микроволн на возбудимые структуры связано со значительными трудностями и прежде всего потому, что еще далеко не ясен физико-химический механизм возбудимости живой ткани вообще. Вместе с этим некоторые соображения, высказанные по поводу механизма действия микроволн на функциональное состояние возбудимых структур^{3, 199, 200}, имеет смысл здесь рассмотреть.

Одним из вероятных механизмов предполагается детектирование микроволн в мемbrane нервной клетки, следствием чего может быть повышение возбудимости или возбуждение последней. Это предположение основывается на данных о детектирующих свойствах мембранны нервной клетки²⁰⁸. Имеются экспериментальные основания предполагать наличие детектирующих свойств оболочки парамеции³, так как при сравнительном раздражении импульсами переменного тока, выпрямленного (полупериодично) переменного тока и сериями импульсов постоянного тока такой же частоты и скважности амплитуды пороговых напряжений возбудимости парамеции оказались одинаковыми.

К другому возможному механизму можно подойти с позиций современных представлений о гидратации ионов натрия и калия в водных растворах²⁰⁹, из которых следует, что тепловое и особенно трансляционное движение молекул воды, окружающих ион натрия затруднено по сравнению с движением в чистой воде (положительная гидратация), в то время

как молекулы воды вблизи иона калия более подвижны, чем в чистой воде (отрицательная гидратация). Трансляционное же движение самих ионов связано с обменом ближайших к ним молекул воды. Можно полагать, что эффект действия микроволн на молекулы воды, окружающие ионы натрия и калия, будет различным, а поэтому неодинаковым будет и соответствующее изменение подвижности этих ионов, что в свою очередь должно привести к изменению калий-натриевого градиента между клеткой и внеклеточной средой и, следовательно, к возбуждению или изменению возбудимости клетки*).

Третьим возможным механизмом возбуждающего действия микроволн может быть изменение проницаемости клеточной мембранны. Можно полагать, что вызываемые микроволнами колебания молекул воды, гидратирующих белковые молекулы поверхностного слоя мембранны, должны в той или иной мере сказываться на проницаемости мембранны, а следовательно, приводить к возбуждению либо к изменению возбудимости.

Иной подход к выяснению механизма биологического действия микроволн (и электромагнитных полей других частот) возможен на основе приведенной выше гипотезы о роли электромагнитных полей в процессах жизнедеятельности^{3, 197}. В свете этой гипотезы нарушения физиологических функций организма под действием микроволн можно было бы рассматривать как результат «радиопомех», вносимых микроволнами в «радиосвязь», осуществляющую определенные информационные взаимодействия во внутренних средах организма. Можно, далее, предположить, что при определенных условиях микроволновое облучение (определенной частоты, интенсивности и характера модуляции) может «навязывать» биологическим системам организма не свойственные им ритмы функционирования. Наконец, не исключена возможность того, что при некоторых особых условиях микроволновое облучение окажется «адекватным» биологическим системам организма и будет усиливать их естественные функции. Однако концепция о влиянии электромагнитных полей на информационные взаимодействия в живом организме требует особого рассмотрения.

Большой интерес представляет механизм куммулятивного действия микроволн, проявляющегося в результате многократных облучений животных и человека. Однако по этому поводу можно высказать только самые общие соображения.

Экспериментальные данные указывают на возможность «полезной» кумуляции действия микроволн средних интенсивностей, когда отмечается постепенная адаптация организма к последующим облучениям^{80–82} и «вредной» кумуляции микроволновых облучений малой интенсивности, постепенно сенсибилизирующих организм к последующим более интенсивным облучениям⁸⁷. Как уже указывалось, в результате систематических облучений происходят морфологические изменения как в периферических рецепторах, так и в структурах головного мозга^{115–117}. По-видимому, от того, где именно происходит кумуляция действия микроволновых облучений в данных условиях — в периферической или в центральной нервной системе, и зависит ее характер, т. е. будет ли она «полезной» или «вредной».

В последние годы предложены некоторые гипотезы о молекулярном механизме биологического действия микроволн и электромагнитных полей других диапазонов.

Возможность денатурации молекул под действием микроволн проверялась в экспериментальных исследованиях⁸⁷. Облучению микровол-

*.) Эта концепция может оказаться плодотворной для выяснения механизма различной проницаемости калия и натрия в мембране нервного волокна.

нами (10 Гц , $245 \text{ мвт}/\text{см}^2$) подвергали раствор альбуминов сыворотки крови человека. Нагрев раствора за счет облучения (рис. 19) приводил к денатурации макромолекул, причем зависимость этого процесса от времени облучения не отличалась от соответствующей зависимости в случае обычного нагрева раствора до той же температуры (рис. 20). Эти данные указывали на тепловой механизм денатурации молекул под действием микроволн при описанных условиях. Однако автор не исключает возможности и нетепловой денатурации при высоких интенсивностях импульсного облучения.

Вероятность нетепловой денатурации белковых молекул под действием импульсных микроволн рассматривалась ³² с точки зрения возникновения «диэлектрического насыщения». Предполагается, что все

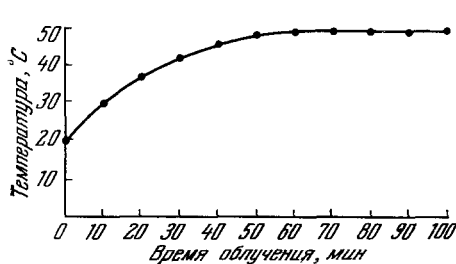


Рис. 19. Повышение температуры раствора альбуминов сыворотки крови человека при облучении микроволнами (10 Гц , $245 \text{ мвт}/\text{см}^2$).

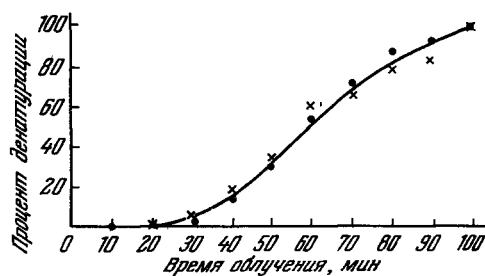


Рис. 20. Денатурация альбуминов сыворотки крови человека под действием микроволн (точки) и при обычном нагреве (крестики).

поляризованные боковые цепи белковых молекул могут быть ориентированы под действием сильных полей импульсных микроволн. Это должно приводить к возможности разрыва водородных связей и изменению зоны гидратации, от которой зависит растворимость молекул. А такие процессы могут служить причиной денатурации или коагуляции белковых молекул.

На основе теоретического исследования сделано заключение ²¹⁰, что при распространении электромагнитных полей в электролитах на ионы будут действовать силы Лоренца при условии малости потерь энергии в среде. Это условие, по мнению автора, выполняется при распространении в жидкой среде импульсных волн. Такие явления предполагаются вероятными и в биологических средах.

В другой теоретической работе ⁴⁷ обращается внимание на тот факт, что в ряде биологических явлений обнаружены межмолекулярные силы, отличающиеся более сильным взаимодействием между идентичными или подобными молекулами. Это взаимодействие происходит за счет флуктуаций протонных и электронных зарядов в одной молекуле, в результате чего создается благоприятное распределение зарядов в смежной молекуле, что и приводит к взаимодействию молекул. Однако этому притяжению препятствуют окружающие молекулы воды, которые должны быть при этом вытеснены, а этот процесс зависит от того, сходны или различны взаимодействующие молекулы. На основе этих положений и была высказана приведенная выше гипотеза ⁴⁶ о диполь-дипольном взаимодействии молекул фермента и субстрата и о влиянии микроволн на такое взаимодействие.

Представляет интерес теоретическое исследование возможного влияния электрического поля на относительную стабильность двух возможных состояний или конфигураций макромолекулярных систем ²¹¹. Автор

приходит к выводу, что электрическое поле с напряженностью порядка 10 000 в/см может вызвать разделение молекулярных цепей в ДНК (переход от неспаренного к спаренному состоянию), а также оказывать влияние на упругость протеиновых цепей (переход от длинной цепи к короткой), т. е. приводить к мышечному сокращению. Недавно получены экспериментальные данные, свидетельствующие о существовании в живых организмах ранее неизвестной управляющей системы²¹².

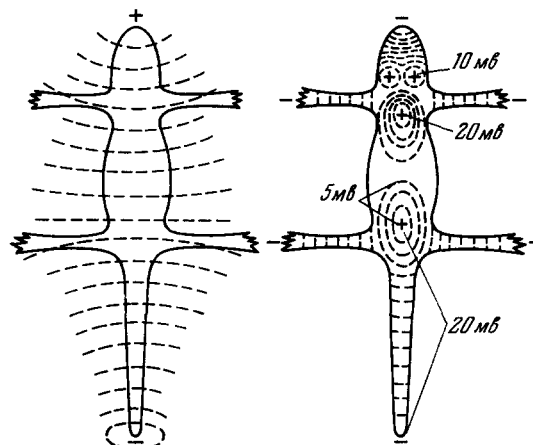


Рис. 21. Распределение поверхностного электрического потенциала по телу ящерицы.

Слева — предполагаемое, справа — экспериментально обнаруженное.

При исследовании поверхностных электрических потенциалов, вместо предполагаемой ранее дипольной симметрии эквипотенциальных линий, найдено распределение, соответствующее анатомическому расположению крупных частей центральной нервной системы, как это показано на рис. 21 для ящерицы (подобное распределение найдено и у человека). Исследования с использованием эффекта Холла показали, что найденное распределение потенциалов обусловливается потоком электронов вдоль нерва, в направлении ден-

дрит—тело нейрона—аксон (тогда как биотоки нерва возникают за счет радиального движения ионов в нервном волокне), причем на периферическом конце чувствительного нерва — положительный потенциал, а на конце двигательного — отрицательный (рис. 22).

Авторы предположили,

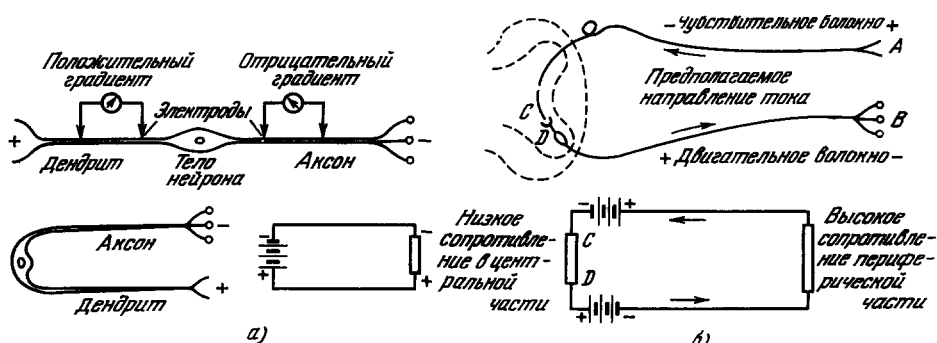


Рис. 22. Распределение потенциала вдоль нейронов спинного мозга и соответствующие эквивалентные схемы для нейрона (а) и нервного центра спинного мозга (б).

что найденная система электрической активности осуществляет управление биотоками нерва, влияя на скорость передачи информации и команд в живом организме. Кроме того, эту систему считают связанный с медленной передачей информации о боли и повреждениях и с психическим состоянием, что подтвердилось экспериментально. На основе полученных результатов сделаны и более широкие заключения:

а) Медленно изменяющиеся потенциалы мозга представляют собой механизм, контролирующий поведение человека и животного.

б) Внешние электрические и магнитные поля должны влиять на эту систему управления и, следовательно, на поведение человека. Эти предположения авторы сопоставляют со статистическими данными о связи между изменениями интенсивности магнитного поля Земли и психическими заболеваниями. Оказалось, что резкие увеличения психических заболеваний достоверно коррелируют с магнитными бурями.

ЗАКЛЮЧЕНИЕ

На основе рассмотренного экспериментального и теоретического материала может сложиться впечатление, что из всей широкой области электромагнитных полей — от инфразвуковых до сверхвысокочастотных — наиболее активным с биологической точки зрения является микроволновый диапазон. В самом деле, на протяжении десятков лет не могли обнаружить какие-либо биологические эффекты электромагнитных полей высоких и ультравысоких частот, отличные от чисто теплового, а в опытах с микроволнами биологическое действие было обнаружено в весьма короткие сроки и в самых разнообразных проявлениях.

Но дело здесь не в особой биологической активности микроволн, а в том, что исследования в этом диапазоне оказались наиболее плодотворными с методической точки зрения: сравнительно легко можно было дозировать интенсивность облучения, воздействовать на локальные участки тела животных, регулировать глубину проникновения энергии, варьируя частоту. Нельзя не учитывать и то немаловажное обстоятельство, что ко времени технического освоения микроволнового диапазона были уже разработаны новые, более совершенные методы биологических исследований — электрофизиологические, микроскопические, биохимические и др.

Вместе с этим успешные результаты, достигнутые в биологических исследованиях с микроволнами, стимулировали широкое изучение биологического действия электромагнитных полей других частотных диапазонов. В связи с этими успехами вновь возник интерес к давней проблеме о возможной роли электромагнитных полей в эволюционном развитии живой природы, в жизнедеятельности организмов. Достаточно сказать, что за последние годы опубликованы десятки работ о влиянии на живые организмы низкочастотных и инфразвуковых полей, о возникновении у людей, животных и растений физиологических реакций на периодические изменения магнитного и электрического полей Земли, о генерации электромагнитных полей различных частот в живых организмах, об участии этих полей в процессах жизнедеятельности. Число исследований в этих направлениях интенсивно возрастает, и появилось уже даже несколько обзорных статей²¹³⁻²¹⁸.

Все это дает основание полагать, что вслед за изучением взаимодействия живой природы с электромагнитной энергией оптического и ионизирующего участков спектра, что привело к созданию новых областей биологии — «фотобиологии» и «радиобиологии», — в настоящее время «осваивается» остальная область электромагнитного спектра — от субмиллиметровых радиоволн до медленно изменяющихся электрического и магнитного полей. Формируется новый раздел биологии, который можно было бы назвать «электромагнитная биология».

Было бы, конечно, преждевременным делать какие-то обобщения по поводу этой новой общебиологической проблемы, не получившей еще «законных прав» в науке. Однако анализ экспериментальных данных о биологическом действии микроволн и электромагнитных полей других частот приводит к мысли об одной общей черте этого действия²¹⁹.

Биологическое действие электромагнитных полей чаще всего сводится к тому или иному их влиянию на процессы управления и взаимосвязей в живом организме: между системами, между клетками, между молекулами. Иначе говоря, электромагнитное поле оказывает влияние на информационные взаимодействия в организме и, по-видимому, энергия поля служит только средством для осуществления этого влияния. В самом деле, ведь экспериментально установлено, что характер данной физиологической реакции на электромагнитное поле остается практически неизменным при вариации величины энергии воздействующего поля в довольно широких пределах. Более того, эффективность реакции может даже возрастать по мере уменьшения интенсивности воздействия.

Все это приводит к предположению, что биологическая активность электромагнитных полей обусловливается не энергетическим, а информационным их взаимодействием с живыми организмами, т. е. что главное в этом взаимодействии — не преобразование электромагнитной энергии в другие формы, а влияние электромагнитных полей на процессы преобразования, передачи, кодирования и хранения информации в живых системах. Дальнейшие исследования покажут, насколько правомерна эта концепция.

В заключение хотелось бы подчеркнуть, что накопленный экспериментальный материал и некоторые теоретические соображения по поводу взаимодействия живой природы с электромагнитными полями дают уже достаточные основания к тому, чтобы считать эту проблему заслуживающей серьезного обсуждения и многосторонних исследований.

ЦИТИРОВАННАЯ ЛИТЕРАТУРА

1. А. С. Пресман, Успехи совр. биол. **41**, 40 (1956).
2. А. С. Пресман, Ю. И. Каменский, Н. А. Левитина, Успехи совр. биол. **51**, 84 (1961).
3. А. С. Пресман, Успехи совр. биол. **56**, 161 (1963).
4. Z. V. Gordon, I. A. Kitsovskaya, M. S. Tolgskaya, A. A. Letavet, Digest Intern. Conf. Med. Electronics, 1961, стр. 153.
5. J. E. Roberts, H. F. Cook, Brit. J. Appl. Phys. **3**, 33 (1952).
6. H. P. Schwan, G. M. Piersol, Amer. J. Phys. Med. **33**, 371 (1954).
7. H. P. Schwan, G. M. Piersol, Amer. J. Phys. Med. **34**, 425 (1955).
8. J. Duhamel, La Presse med. **66**, 744 (1958).
9. J. Duhamel, La Presse med. **67**, 1951 (1959).
10. H. Kalant, Canad. Med. Ass. J. **81**, 575 (1959).
11. H. Boiteau, Rev. Corps. sante Armeés **1**, 637 (1960).
12. А. С. Пресман, Зарубежная радиоэлектроника **3**, 63; **4**, 67 (1964).
13. T. Jackson, Radio Electronics **31**, 43 (1960).
14. A. F. Harvey, Proc. IEE **B107**, 557 (1960).
15. K. Marha, Pracovní lekarství **15**, 387 (1963).
16. W. Mumford, Proc. IRE **49**, 427 (1961).
17. L. Hartmann, Zs. Naturforsch. **96**, 257 (1954).
18. H. P. Schwan, Advances Biol. and Med. Phys. **5**, 147 (1957).
19. H. P. Schwan, Proc. 2d Tri-Servis Conf. Biol. Eff. Microwave Energy, 1958, стр. 126.
20. W. Jackson, Trans. Farad. Soc. **42A**, 91 (1946).
21. H. P. Schwan, Zs. Naturforsch. **8**, 3 (1953).
22. H. P. Schwan, K. Li, Trans. Amer. IEE **74**, 603 (1955).
23. B. Rahevsky, A. Redhard, Arch. d. Elektr. Übertrag. **11**, 163 (1957).
24. H. P. Schwan, Ann. d. Phys. **6**, 253 (1950).
25. H. P. Schwan, Trans. IRE PGME-3, 32 (1955).
26. H. P. Schwan, K. Li, Elect. Eng. **74**, 64 (1955).
27. E. R. Laird, K. Ferguson, Canad. J. Res. **A27**, 218 (1949).
28. H. F. Cook, Brit. J. Appl. Phys. **2**, 295 (1951).
29. T. S. England, N. A. Sharpless, Nature **163**, 487 (1949).
30. T. S. England, Nature **166**, 480 (1950).
31. J. F. Herrick, D. G. Jeletis, G. M. Lee, Feder. Proc. **9**, 60 (1950).
32. T. J. Buchanan, Proc. IEE **99**, pt. 3, 61 (1952).

33. T. M. Shaw, J. J. Windle, *J. Appl. Phys.* **21**, 956 (1950).
 34. S. T. Bayley, *Trans. Farad. Soc.* **47**, 509 (1951).
 35. H. P. Schwan, K. Li, *Proc. IRE* **41**, 1735 (1953).
 36. H. F. Cook, *Brit. J. Appl. Phys.* **3**, 249 (1952).
 37. H. F. Cook, *Nature* **168**, 247 (1951).
 38. H. P. Schwan, *Amer. J. Phys. Med.* **32**, 144 (1953).
 39. B. Jewsey, H. Schwan, *Nature* **155**, 315 (1948).
 40. H. Danzer, *Ann. d. Phys.* **20**, 463 (1934).
 41. D. E. Barber, *Techn. Rep. Univ. Michigan School of Publ. Health*, April 1961.
 42. V. T. Tomberg, В сб. *Biol. Eff. Microwave Radiation*, vol. 1, Plenum Press, N. Y., 1961, стр. 221.
 43. J. Dryden, W. Jackson, *Nature* **162**, 656 (1948).
 44. W. Jackson, *Nature* **164**, 486 (1949).
 45. H. F. Cook, T. J. Buchanan, *Nature* **165**, 358 (1950).
 46. P. O. Vogelhut, 3d. Intern. Conf. Med. Electronics, 1960, стр. 52.
 47. S. Prausnitz, C. Susskind, P. Vogelhut, *Biol. Eff. Microwave Radiation*, vol. 1, Plenum Press, N. Y., 1961, стр. 135.
 48. A. С. Пресман, Гигиена и санитария **9**, 32 (1956).
 49. А. С. Пресман, Биофизика **3**, 354 (1958).
 50. J. Fleming, L. Pinnes, R. Bauss, R. McAffee, *Biol. Eff. Microwave Radiation*, vol. 1, Plenum Press, N. Y., 1961, стр. 229.
 51. H. P. Schwan, K. Li, *Trans. IRE. PGME-4*, 45 (1956).
 52. H. P. Schwan, K. Li, *Proc. IRE* **44**, 1572 (1956).
 53. H. P. Schwan, K. Li, *Arch. Phys. Med.* **36**, 363 (1955).
 54. A. Anne, O. Salati, M. Satio, H. Schwan, *Biol. Eff. Microwave Radiation*, vol. 1, Plenum Press, N. Y., 1961, стр. 153.
 55. H. Mergagen, там же, стр. 143.
 56. A. С. Бойл, H. F. Cook, T. J. Buchanan, *Brit. J. Phys. Med.* **13**, 1 (1950).
 57. L. Seguin, G. Castelain, *Compt. rend.* **224**, 1662 (1947).
 58. H. F. Cook, *Brit. J. Appl. Phys.* **3**, 1 (1952).
 59. J. Clark, *Proc. IRE* **38**, 1028 (1950).
 60. H. F. Cook, *J. Physiol.* **118**, 1 (1952).
 61. А. С. Пресман, Аннотация научных работ АМН СССР, М., Изд-во АМН СССР, 1954, стр. 479.
 62. А. С. Пресман, Гигиена и санитария **1**, 29 (1957).
 63. H. P. Schwan, в кн. *Therapeutic Heat*, vol. 2, 1958, стр. 26.
 64. К. Г. Кнорре, Тезисы конф. Института гигиены труда и профзаболеваний АМН СССР *), 1959, стр. 22.
 65. А. С. Пресман, Тезисы 2-й конф. по примен. радиоэлектроники в биол. и мед., М., 1962, стр. 23.
 66. J. H. Vogelman, *Biol. Eff. Microwave Radiation*, vol. 1, Plenum Press, N. Y., 1961, стр. 23.
 67. F. G. Hirsch, *Trans. IRE. PGME-4*, 22 (1956).
 68. J. E. Boyesen, *Arch. Indust. Hyg.* **7**, 516 (1953).
 69. B. В. Елисеев, Тр. ИГТ **2**, 94 (1964).
 70. К. Г. Кнорре, Б. Белицкий, Тезисы конф. ИГТ, 1959, стр. 36.
 71. А. С. Пресман, Новости мед. техн. **4**, 51 (1960).
 72. А. С. Пресман, Ю. И. Каменский, Биофизика **6**, 231 (1961).
 73. А. С. Пресман, Биофизика **6**, 370 (1961).
 74. А. С. Пресман, Биол. и мед. электроника **6**, 76 (1963).
 75. J. W. Rac, J. F. Herrick, K. G. Wakim, F. H. Kruseen, *Arch. Phys. Med.* **30**, 199 (1949).
 76. J. W. Gersten, K. G. Wakim, F. H. Kruseen, *Arch. Phys. Med.* **31**, 281 (1950).
 77. А. Р. Ливенсон, Тезисы 2-й конф. по примен. радиоэлектроники в биол. и мед., М., 1962, стр. 25.
 78. А. С. Пресман, в кн. «Физические факторы внешней среды», М., Изд. ИГТ, 1960, стр. 142.
 79. T. Ely, D. Goldmann, *IRE Trans. PGME-4*, 38 (1956).
 80. S. Michaelson, R. Thomson, J. Howland, *Industr. Med. Surgery* **30**, 298 (1961).
 81. J. Howland, R. Thomson, S. Michaelson, *Biol. Eff. Microwave Radiation*, vol. 1, Plenum Press, N. Y., 1961, стр. 261.
 82. S. Michaelson, R. Thomson, J. Howland, *Amer. J. Physiol.* **201**, 351 (1961).
 83. W. Deuchman, F. Stephens, M. Keplinger, K. Lampe, *J. Occup. Med.* **1**, 369 (1959).

*) В дальнейшем цитируется как издание ИГТ.

84. W. Deuchman, J. Middle, K. Landen, Toxic. Appl. Pharmacol. **6**, 71 (1964).
85. J. Howland, S. Michaelson, R. Thomson, H. Mergagen, RADCTDR 62-102, Univ. of Rochester, 1962.
86. S. Michaelson, R. Thomson, J. Howland, Aerospace Med. **34**, 111 (1963).
87. K. Marha, Pracovni lekarstvi **15**, 238 (1963).
88. B. Scelsi, Radioterapia, Radiobiologia, Fisica Med. **12**, 135 (1957).
89. А. С. Пресман, Н. А. Левитина, Радиобиология **2**, 170 (1962).
90. G. M. Austin, S. M. Horwath, Amer. J. Med. Sci. **218**, 115 (1949).
91. G. M. Austin, S. M. Horwath, Amer. J. Phys. Med. **33**, 141 (1954).
92. M. Baldwin, S. Bach, S. Lewis, Neurology **10**, 178 (1960).
93. Г. В. Бавров, Ю. А. Холодов, Тезисы Конф. по гигиене труда и биол. действию эл.-магн. полей радиочастот, М., Изд. ИГТ, 1963, стр. 108.
94. Ю. А. Холодов, там же, стр. 109.
95. Ю. А. Холодов, З. А. Яисон, Бюлл. эксп. биол. мед. **11**, 8 (1962).
96. Ю. А. Холодов, Бюлл. эксп. биол. мед. **9**, 42 (1963).
97. З. М. Гвоздикова, В. М. Анашева, Бюлл. эксп. биол. мед. **8**, 63 (1964).
98. Е. А. Лобанова, Тр. ИГТ **1**, 61 (1960).
99. S. Barganski, P. Czeraski, Med. Pracy **3**, 129 (1963).
100. W. B. Deuchmann, F. H. Stephens, Indust. Med. Surg. **30**, 221 (1961).
101. C. Addington, F. Fischer, R. Neubauer, S. Osborn, Y. Sarkees, G. Schwartz, Biol. Eff. Microwave Radiation, vol. 1, 1961, стр. 177.
102. R. D. McAfee, Amer. J. Physiol. **200**, 192 (1961).
103. R. D. McAfee, Amer. J. Physiol. **203**, 374 (1962).
104. А. С. Пресман, Бюлл. эксп. биол. мед. **2**, 51 (1957).
105. E. Hendler, J. Hardy, IRE Trans. Me-7, 143 (1960).
106. A. J. Vendrik, J. J. Voss, J. Appl. Physiol. **13**, 435 (1958).
107. З. В. Гордон, Е. А. Лобанова, Тр. ИГТ **1**, 59 (1960).
108. Н. В. Тягин, Бюлл. эксп. биол. мед. **8**, 67 (1958).
109. Е. А. Лобанова, Тр. ИГТ **2**, 75 (1964).
110. См. литературу в 2.
111. О биологическом воздействии сверхвысоких частот, под ред. А. А. Летавета, Тр. ИГТ **1** (1960).
112. Физические факторы внешней среды, под ред. А. А. Летавета, М., Изд. ИГТ, 1960.
113. З. В. Гордон, Е. А. Лобанова, И. А. Кировская, С. В. Никогосян, М. С. Толгская, Биол. и мед. электроника **6**, 72 (1963).
114. Тр. ИГТ, под ред. А. А. Летавета, **2** (1964).
115. З. В. Гордон, Е. А. Лобанова, М. С. Толгская, Гигиена и санитария **12**, 16 (1955).
116. Е. А. Лобанова, М. С. Толгская, Тр. ИГТ **1**, 69 (1960).
117. М. С. Толгская, З. В. Гордон, Тр. ИГТ **1**, 99 (1960).
118. А. С. Пресман, Тезисы 2-й конференции по примен. радиоэлектроники в биол. и мед. М., 1962, стр. 21.
119. А. С. Пресман, Н. А. Левитина, Бюлл. эксп. биол. мед. **1**, 41 (1962).
120. А. С. Пресман, Н. А. Левитина, Бюлл. эксп. биол. мед. **2**, 39 (1962).
121. Н. А. Левитина, Бюлл. эксп. биол. мед. **58**, 67 (1964).
122. Н. А. Левитина, А. С. Пресман, Тезисы Конф. по гигиене труда и биол. действию эл.-магн. полей радиочастот, М., Изд. ИГТ, 1963, стр. 51.
123. М. Г. Удельнов, Нервная регуляция сердца, М., Медгиз, 1961, стр. 224.
124. L. Seguin, G. Castelain, Compt. rend. **224**, 1850 (1947).
125. В. Ю. Первушкин, А. В. Триумфов, Тр. ВМОЛА **73**, 141 (1957).
126. М. С. Толгская, З. В. Гордон, Е. А. Лобанова, Вопр. курортологии, физиотерапии и леч. физкульт. **1**, 21 (1959).
127. C. Imig, J. Thomson, N. Hines, Proc. Soc. Exp. Biol. Med. **69**, 382 (1948).
128. G. Seerle, R. Dahlen, C. Imig, C. Wunder, J. Thomson, J. Thommas, W. Moretti, Biol. Eff. Microwave Radiation, vol. 1, 1961, стр. 187.
129. S. Gunn, T. Gould, W. Anderson, Biol. Eff. Microwave Radiation, vol. 1, 1961, стр. 94.
130. С. Ф. Городецкая, Фізіол. ж. **9**, 394 (1963).
131. Лучевые катаракты, под ред. А. А. Летавета, М., Медгиз, 1959, стр. 235—302.
132. D. Williams, I. Monahan, W. Nicolson, Trans, IRE PGME-4, 17 (1956).
133. L. Daily, K. Wakim, J. Herrick, E. Parkhill, W. Benedict, Amer. J. Ophthalm. **35**, 1001 (1952).
134. С. Ф. Белова, З. В. Гордон, Бюлл. эксп. биол. мед. **4**, 43 (1956).

135. R. Carpenter, D. Bidle, C. Van Ummersen, Trans. IRE Me-7, 152 (1960).
136. L. Daily, E. Zeller, J. Herrick, W. Benedict, Amer. J. Ophthal. 34, 1301 (1951).
137. R. Carpenter, D. Bidle, C. Van Ummersen, 3d Intern. Conf. Med. Electronics, 1960, стр. 30.
138. L. O. Merola, J. H. Kinoshita, Biol. Eff. Microwave Radiation, vol. 1, 1961, стр. 285.
139. V. Van Ummersen, Biol. Eff. Microwave Radiation, vol. 1, 1961, стр. 201.
140. W. A. Van Everdingen, Nederland. Tjudschr. voor Geneeskunde 84, 4370 (1940).
141. G. Paff, W. Deuchman, R. Bouceck, Anatom. Record. 142, 264 (1962).
142. G. Paff, J. Bouceck et al., Anat. Rec. 147, 379 (1963).
143. L. Seguin, L'Onde electr. 29, 271 (1949).
144. W. A. Van Everdingen, Nederland. Tjudschr. voor Geneeskunde 82, 284 (1938).
145. W. A. Van Everdingen, Nederland. Tjudschr. voor Geneeskunde 87, 406 (1943).
146. W. A. Van Everdingen, Rev. Belge des Sci. Med. 5, 261 (1946).
147. A. Montani, J. Electronics 17, 114 (1944).
148. G. H. Brown, W. C. Morrison, Food Technol. 8, 361 (1954).
149. G. H. Brown, W. C. Morrison, Trans. IRE PGME-4, 16 (1956).
150. M. A. Epstein, H. F. Cook, Brit. J. Cancer 5, 244 (1951).
151. D. E. Barber, Trans. IRE BME-2, 77 (1962).
152. J. E. Nyrop, Nature 157, 51 (1946).
153. H. Fleming, Electr. Engng. 1, 18 (1944).
154. И. И. Счастная, Тр. Харьк. мед. ин-та 15, 239 (1957).
155. A. Wildervank, K. Wakim, J. Herrick, H. Krusen, Arch. Phys. Med. 40, 45 (1959).
156. J. H. Heller, A. A. Teixeria-Pinto, Nature 183, 905 (1959).
157. J. H. Heller, Radio Electronics 6, 6 (1959).
158. A. Teixeria-Pinto, L. Nejelsky, Gulter et al., Exp. Cell. Res. 20, 348 (1960).
159. G. H. Mickey, New York St. J. Med. 63, 1935 (1963).
160. M. Satio, H. Schwahn, Biol. Eff. Microwave Radiation, vol. 1, 1961, стр. 85.
161. A. A. Furedi, R. C. Valentine, Bioch. and Biophys. Acta 56, 33 (1962).
162. A. A. Furedi, I. Ohad, Bioch. and Biophys. Acta 79, 1 (1964).
163. M. Satio, L. Sher et al., Digest Intern. Conf. Med. Electronics 21, 3 (1961).
164. А. С. Пресман, Биофизика 8, 138 (1963).
165. А. С. Пресман, С. М. Раппенорт, Научн. докл. высш. шк., сер. биол., 1. 48 (1964).
166. А. С. Пресман, С. М. Раппенорт, Научн. докл. высш. шк., сер. биол. 3, 44 (1964).
- 166а. А. С. Пресман, С. М. Раппенорт, Бюлл. эксп. биол. мед. № 4, 48 (1965).
167. Х. С. Коштоянц, Основы сравнительной физиологии, т. 2, М., Изд-во АН СССР, 1957.
168. А. С. Пресман, Биофизика 8, 258 (1963).
169. Е. Т. Кулини, Е. И. Морозов, ДАН БССР 8, 329 (1964).
170. W. A. Van Everdingen, Nederland. Tjudschr. voor Geneeskunde 85, 3094 (1941).
171. W. A. Van Everdingen, Rev. Belge des Sci. Med. 5, 279 (1946).
172. S. A. Bach, A. J. Luzzio, A. S. Brownell, Biol. Eff. Microwave Radiation, vol. 1, 1961, стр. 117.
173. S. A. Bach, A. J. Luzzio, A. S. Brownell, J. Med. Electronics 9, Sept.—Nov. 1961.
174. S. A. Bach, Digest Intern. Conf. Med. Electronics 21, 1 (1961).
175. G. Sacchitelli, F. Sacchitelli, Folia Medica 39, 1037 (1956).
176. G. Sacchitelli, F. Sacchitelli, Folia Medica 41, 342 (1958).
177. К. Кирчев, П. Ефимов, Г. Чернавин, Тр. 5-го Межд. биохим. конгр., секц. 14—28, 427 (1962).
178. G. H. Haggis, T. J. Buchanan, J. B. Hasted, Nature 167, 607 (1959).
179. T. J. Buchanan, G. H. Haggis, J. B. Hasted, B. G. Robinson, Proc. Roy. Soc. London A213, 379 (1952).
180. E. H. Grant, Phys. in Med. and Biol. 2, 17 (1957).
181. J. J. Windle, T. M. Shaw, J. Chem. Phys. 22, 1752 (1954).
182. J. J. Windle, T. M. Shaw, J. Chem. Phys. 25, 435 (1956).
183. З. В. Гордон, в кн. «Физические факторы внешней среды», М., Изд. ИГТ, 1960, стр. 135.

184. Ю. А. Х о л о д о в, Матер. Всесоюзн. конф. эксп. курортологии, М., 1962, стр. 339.
185. An Observation on the Detection by the Ear of Microwave Signals, Proc. IRE 44, 2A (1956).
186. A. H. F r e y, Aerospace Med. 32, 1140 (1961).
187. A. H. F r e y, J. Appl. Physiol. 17, 689 (1962).
188. A. H. F r e y, Amer. J. Med. Electronics 2, 28 (1963).
189. Р. Г р а н и т, Электрофизиологическое исследование рецепции, М., ИЛ, 1957, стр. 16.
190. Х. С. К о ш т о я н ц, Основы сравнительной физиологии, т. 2, М., Изд-во АН СССР, 1957, стр. 13.
191. В. А. Э н г е л ь г а р д, Некоторые проблемы современной биохимии, М., Изд-во АН СССР, М., 1959.
192. Т. Н. Б у л л о к, Современные проблемы биофизики, т. 2, М., Изд-во АН СССР, 1961, стр. 248.
193. H. B u l l o c k, A. M a i g r o, Yale J. Biol. Med. 21, 455 (1949).
194. R. M o r g g o w, J. S e i p e l, J. Washington Acad. Sci. 1 (1960).
195. F. C a z z a m o l l i, Neurologica 6, 193 (1925).
196. W. K. V o l k e r s, W. C a n d i b, IRE Convent. Rec. 1, pt. 9, 116 (1960).
197. A. С. П р е с м а н, Биофизика 9, 131 (1964).
198. А. С е н т - Д ѿ р д ь и, Биоэнергетика, М., Физматгиз, 1960, стр. 26—27.
199. А. С. П р е с м а н, в кн. «Электроника в медицине», М., Госэнергоиздат, 1960, стр. 219.
200. А. С. П р е с м а н, Тезисы 2-й конф. по примен. радиоэлектроники в биол. и мед., 1962, стр. 21.
201. З. М. Г в о з д и к о в а и д р., Тр. ИГТ 2, 20 (1964).
202. З. В. Г о р д о н, Тр. ИГТ 2, 57 (1964).
203. М. Н. С а д ч и к о в а, Тр. ИГТ 2, 111 (1964).
204. И. А. К и ц о в с к а я, Тр. ИГТ 2, 39 (1964).
205. С. В. Н и к о г о с я н, Тр. ИГТ 2, 43 (1964).
206. Е. А. Л о б а н о в а, Тр. ИГТ 2, 13 (1964).
207. Ю. И. К а м е н с к и й, Биофизика 9, 695 (1964).
208. K. S. C o l e, Trans. IRE PGME-6, 28 (1956).
209. О. А. С а м о й л о в, Структура водных растворов электролитов и гидратация ионов, М., Изд-во АН СССР, 1957.
210. F. H e i n m e t s, A. H e r s c h m a n, Physics in Med. and Biol. 5, 271 (1961).
211. T. L. H i l l, J. Amer. Chem. Soc. 8, 2142 (1958).
212. R. O. B e c k e r et al., N. Y. State, J. Med. 62, 1169 (1962).
213. H. S. A l e x a n d e r, Am. J. Med. Electronics 1, 181 (1962).
214. R. O. B e c k e r, Med. Electronics and Biol. Eng. 1, 293 (1963).
215. H. F r i e d m a n, R. O. B e c k e r, Nature 200, 626 (1963).
216. A. H. F r e y, Behavioral Biophysics, Rep. No. 64-01 (1964).
217. Ed. M. F. B a t h n o t h y, Biological Effects of Magnetic Fields, Plenum Press, N. Y., 1964.
218. А. С. П р е с м а н, Наука и жизнь, № 5 (1965).
219. А. С. П р е с м а н, Тезисы 3-й конф. по мед. электронике, М., 1964, стр. 117